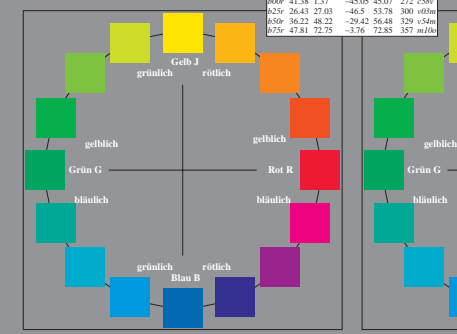


Ein und Ausgabe: Farbmétrisches Drucker-Reflektiv-System ORS20_95a
 Daten für jede Farbe: $lab^*L^*a^*b^*$ und $lab^*i^*c^*$
 Elementar-Bunttonen: $n^* = 6$ Bunttonen $r00, r25j, \dots, b75r$
 Kontrastreduzierungsfaktor: $c_p = 1.0$
 Dreiecks-Helligkeit r^*

ORS20_95a adaptierte CIELAB-Daten

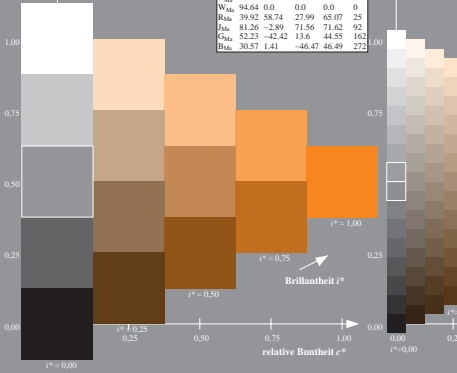
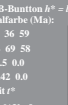
n^*	L^*	a^*	b^*	C_{10a}	C_{10b}	C_{10c}	m^*
r00	47.06	67.41	32.12	74.67	25	m64a	0.0
r25j	53.95	53.38	48.38	72.04	42	o17a	0.0
y50	63.16	35.87	59.45	69.43	59	o42a	0.0
m64a	73.37	18.14	70.66	72.95	76	o69a	0.0
o69a	85.24	-3.4	84.28	84.35	92	o93a	0.0
o93a	78.53	-25.99	72.23	76.76	110	y24a	0.0
y24a	68.25	-42.61	56.0	70.37	127	v55a	0.0
v55a	58.73	-57.99	40.99	71.02	145	v83a	0.0
v83a	55.66	-58.35	18.71	61.27	162	i12a	0.0
i12a	58.18	-46.2	-7.82	46.86	190	i45a	0.0
i45a	60.08	-37.02	-27.87	46.34	217	f76a	0.0
f76a	59.51	-20.63	-42.98	47.67	244	e10a	0.0
e10a	41.38	1.37	-45.05	45.07	272	c58a	0.0
c58a	26.43	27.03	-46.5	53.78	300	v09a	0.0
v09a	36.22	48.22	-29.42	56.48	329	v50a	0.0
v50a	47.81	72.75	-3.76	72.85	357	m10a	0.0



Ein und Ausgabe: Farbmétrisches Drucker-Reflektiv-System ORS20_95, L*=20_95 für relative CIELAB-Buntton $h^* = lab^*h^* = h_{ab}/360 = 0.164$ $u^* = r50j$
 Daten für jede Farbe: $lab^*L^*a^*b^*$ und $lab^*i^*c^*$
 Bunttonexte: $u^* = r50j$ $u^*a^* = o42y$
 Kontrastreduzierungsfaktor: $c_p = 1.0$
 Dreiecks-Helligkeit r^*

ORS20_95a adaptierte CIELAB-Daten

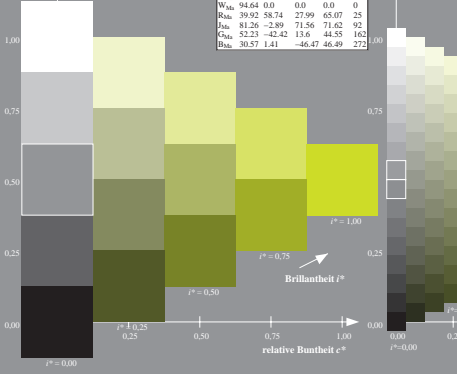
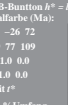
n^*	L^*	a^*	b^*	C_{10a}	C_{10b}	C_{10c}	m^*
o42y	48.89	66.19	40.28	77.48	31	m64a	0.0
o69a	53.95	53.38	48.38	72.04	42	o17a	0.0
o93a	63.16	35.87	59.45	69.43	59	o42y	0.0
o17a	73.37	18.14	70.66	72.95	76	o69a	0.0
o42y	85.24	-3.4	84.28	84.35	92	o93a	0.0
o69a	78.53	-25.99	72.23	76.76	110	y24a	0.0
y24a	68.25	-42.61	56.0	70.37	127	v55a	0.0
v55a	58.73	-57.99	40.99	71.02	145	v83a	0.0
v83a	55.66	-58.35	18.71	61.27	162	i12a	0.0
i12a	58.18	-46.2	-7.82	46.86	190	i45a	0.0
i45a	60.08	-37.02	-27.87	46.34	217	f76a	0.0
f76a	59.51	-20.63	-42.98	47.67	244	e10a	0.0
e10a	41.38	1.37	-45.05	45.07	272	c58a	0.0
c58a	26.43	27.03	-46.5	53.78	300	v09a	0.0
v09a	36.22	48.22	-29.42	56.48	329	v50a	0.0
v50a	47.81	72.75	-3.76	72.85	357	m10a	0.0



Ein und Ausgabe: Farbmétrisches Drucker-Reflektiv-System ORS20_95, L*=20_95 für relative CIELAB-Buntton $h^* = lab^*h^* = h_{ab}/360 = 0.305$ $u^* = r25j$
 Daten für jede Farbe: $lab^*L^*a^*b^*$ und $lab^*i^*c^*$
 Bunttonexte: $u^* = r25j$ $u^*a^* = o42y$
 Kontrastreduzierungsfaktor: $c_p = 1.0$
 Dreiecks-Helligkeit r^*

ORS20_95a adaptierte CIELAB-Daten

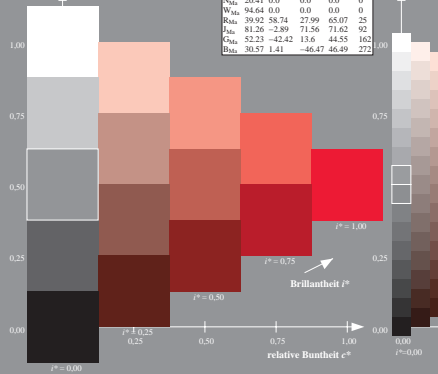
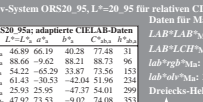
n^*	L^*	a^*	b^*	C_{10a}	C_{10b}	C_{10c}	m^*
o42y	48.89	66.19	40.28	77.48	31	m64a	0.0
o69a	53.95	53.38	48.38	72.04	42	o17a	0.0
o93a	63.16	35.87	59.45	69.43	59	o42y	0.0
o17a	73.37	18.14	70.66	72.95	76	o69a	0.0
o42y	85.24	-3.4	84.28	84.35	92	o93a	0.0
o69a	78.53	-25.99	72.23	76.76	110	y24a	0.0
y24a	68.25	-42.61	56.0	70.37	127	v55a	0.0
v55a	58.73	-57.99	40.99	71.02	145	v83a	0.0
v83a	55.66	-58.35	18.71	61.27	162	i12a	0.0
i12a	58.18	-46.2	-7.82	46.86	190	i45a	0.0
i45a	60.08	-37.02	-27.87	46.34	217	f76a	0.0
f76a	59.51	-20.63	-42.98	47.67	244	e10a	0.0
e10a	41.38	1.37	-45.05	45.07	272	c58a	0.0
c58a	26.43	27.03	-46.5	53.78	300	v09a	0.0
v09a	36.22	48.22	-29.42	56.48	329	v50a	0.0
v50a	47.81	72.75	-3.76	72.85	357	m10a	0.0



Ein und Ausgabe: Farbmétrisches Drucker-Reflektiv-System ORS20_95, L*=20_95 für relative CIELAB-Buntton $h^* = lab^*h^* = h_{ab}/360 = 0.071$ $u^* = r00j$
 Daten für jede Farbe: $lab^*L^*a^*b^*$ und $lab^*i^*c^*$
 Bunttonexte: $u^* = r00j$ $u^*a^* = m64a$
 Kontrastreduzierungsfaktor: $c_p = 1.0$
 Dreiecks-Helligkeit r^*

ORS20_95a adaptierte CIELAB-Daten

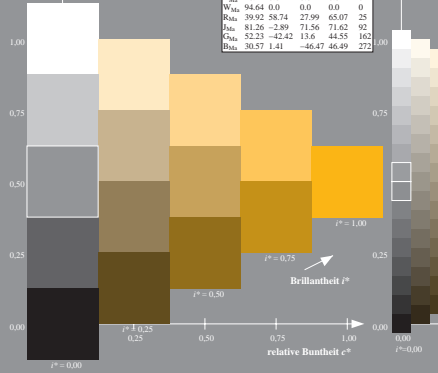
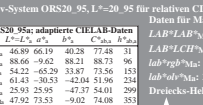
n^*	L^*	a^*	b^*	C_{10a}	C_{10b}	C_{10c}	m^*
o42y	48.89	66.19	40.28	77.48	31	m64a	0.0
o69a	53.95	53.38	48.38	72.04	42	o17a	0.0
o93a	63.16	35.87	59.45	69.43	59	o42y	0.0
o17a	73.37	18.14	70.66	72.95	76	o69a	0.0
o42y	85.24	-3.4	84.28	84.35	92	o93a	0.0
o69a	78.53	-25.99	72.23	76.76	110	y24a	0.0
y24a	68.25	-42.61	56.0	70.37	127	v55a	0.0
v55a	58.73	-57.99	40.99	71.02	145	v83a	0.0
v83a	55.66	-58.35	18.71	61.27	162	i12a	0.0
i12a	58.18	-46.2	-7.82	46.86	190	i45a	0.0
i45a	60.08	-37.02	-27.87	46.34	217	f76a	0.0
f76a	59.51	-20.63	-42.98	47.67	244	e10a	0.0
e10a	41.38	1.37	-45.05	45.07	272	c58a	0.0
c58a	26.43	27.03	-46.5	53.78	300	v09a	0.0
v09a	36.22	48.22	-29.42	56.48	329	v50a	0.0
v50a	47.81	72.75	-3.76	72.85	357	m10a	0.0



Ein und Ausgabe: Farbmétrisches Drucker-Reflektiv-System ORS20_95, L*=20_95 für relative CIELAB-Buntton $h^* = lab^*h^* = h_{ab}/360 = 0.21$ $u^* = r25j$
 Daten für jede Farbe: $lab^*L^*a^*b^*$ und $lab^*i^*c^*$
 Bunttonexte: $u^* = r25j$ $u^*a^* = o69a$
 Kontrastreduzierungsfaktor: $c_p = 1.0$
 Dreiecks-Helligkeit r^*

ORS20_95a adaptierte CIELAB-Daten

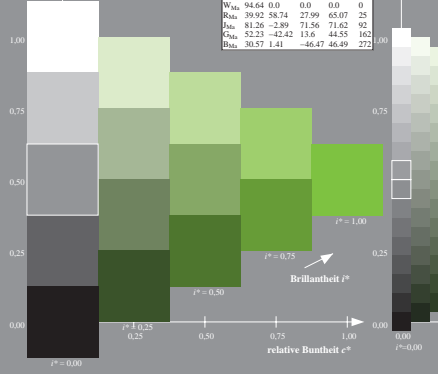
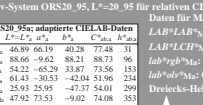
n^*	L^*	a^*	b^*	C_{10a}	C_{10b}	C_{10c}	m^*
o42y	48.89	66.19	40.28	77.48	31	m64a	0.0
o69a	53.95	53.38	48.38	72.04	42	o17a	0.0
o93a	63.16	35.87	59.45	69.43	59	o42y	0.0
o17a	73.37	18.14	70.66	72.95	76	o69a	0.0
o42y	85.24	-3.4	84.28	84.35	92	o93a	0.0
o69a	78.53	-25.99	72.23	76.76	110	y24a	0.0
y24a	68.25	-42.61	56.0	70.37	127	v55a	0.0
v55a	58.73	-57.99	40.99	71.02	145	v83a	0.0
v83a	55.66	-58.35	18.71	61.27	162	i12a	0.0
i12a	58.18	-46.2	-7.82	46.86	190	i45a	0.0
i45a	60.08	-37.02	-27.87	46.34	217	f76a	0.0
f76a	59.51	-20.63	-42.98	47.67	244	e10a	0.0
e10a	41.38	1.37	-45.05	45.07	272	c58a	0.0
c58a	26.43	27.03	-46.5	53.78	300	v09a	0.0
v09a	36.22	48.22	-29.42	56.48	329	v50a	0.0
v50a	47.81	72.75	-3.76	72.85	357	m10a	0.0



Ein und Ausgabe: Farbmétrisches Drucker-Reflektiv-System ORS20_95, L*=20_95 für relative CIELAB-Buntton $h^* = lab^*h^* = h_{ab}/360 = 0.354$ $u^* = r50j$
 Daten für jede Farbe: $lab^*L^*a^*b^*$ und $lab^*i^*c^*$
 Bunttonexte: $u^* = r50j$ $u^*a^* = y50j$
 Kontrastreduzierungsfaktor: $c_p = 1.0$
 Dreiecks-Helligkeit r^*

ORS20_95a adaptierte CIELAB-Daten

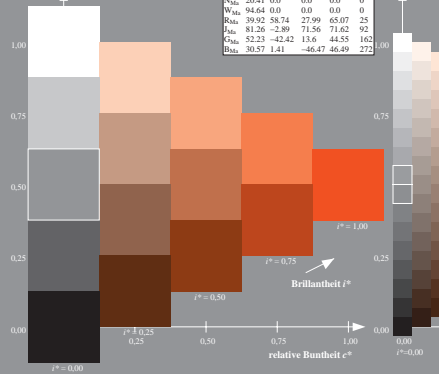
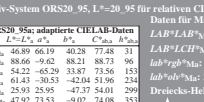
n^*	L^*	a^*	b^*	C_{10a}	C_{10b}	C_{10c}	m^*
o42y	48.89	66.19	40.28	77.48	31	m64a	0.0
o69a	53.95	53.38	48.38	72.04	42	o17a	0.0
o93a	63.16	35.87	59.45	69.43	59	o42y	0.0
o17a	73.37	18.14	70.66	72.95	76	o69a	0.0
o42y	85.24	-3.4	84.28	84.35	92	o93a	0.0
o69a	78.53	-25.99	72.23	76.76	110	y24a	0.0
y24a	68.25	-42.61	56.0	70.37	127	v55a	0.0
v55a	58.73	-57.99	40.99	71.02	145	v83a	0.0
v83a	55.66	-58.35	18.71	61.27	162	i12a	0.0
i12a	58.18	-46.2	-7.82	46.86	190	i45a	0.0
i45a	60.08	-37.02	-27.87	46.34	217	f76a	0.0
f76a	59.51	-20.63	-42.98	47.67	244	e10a	0.0
e10a	41.38	1.37	-45.05	45.07	272	c58a	0.0
c58a	26.43	27.03	-46.5	53.78	300	v09a	0.0
v09a	36.22	48.22	-29.42	56.48	329	v50a	0.0
v50a	47.81	72.75	-3.76	72.85	357	m10a	0.0

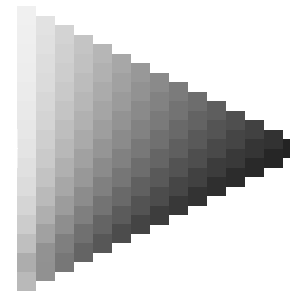
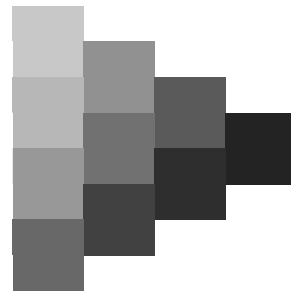
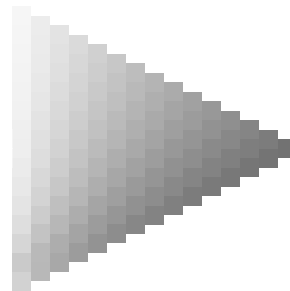
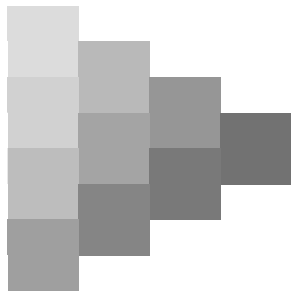
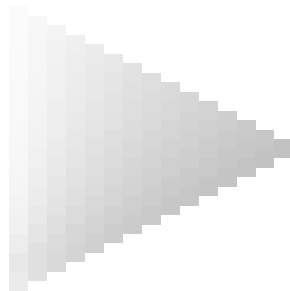
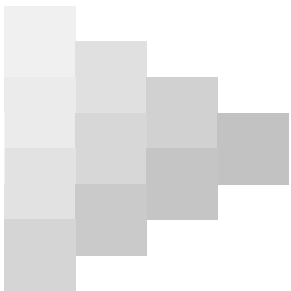
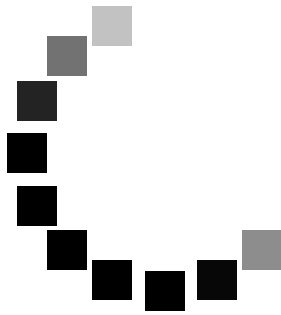
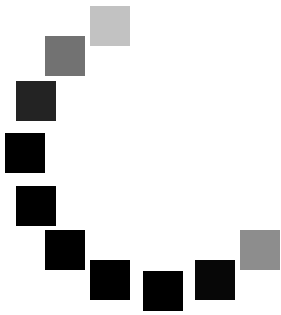


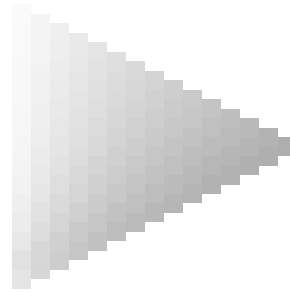
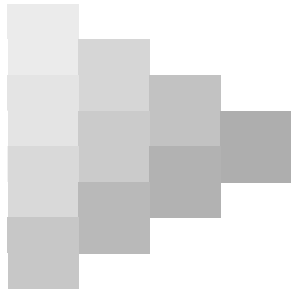
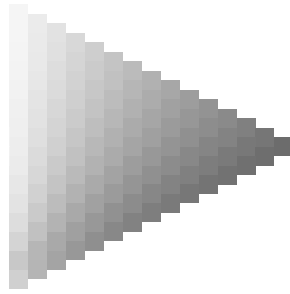
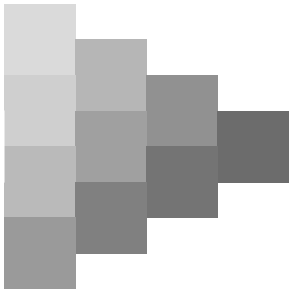
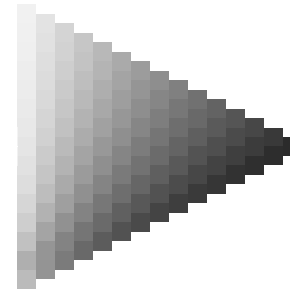
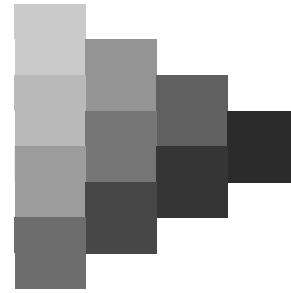
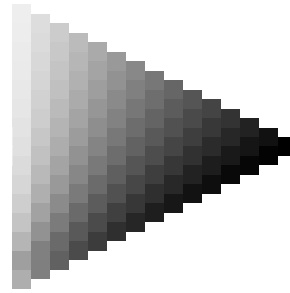
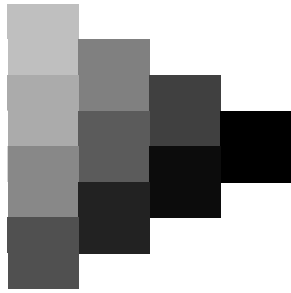
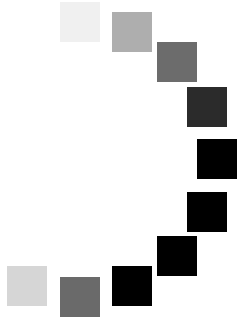
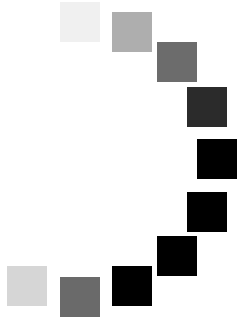
Ein und Ausgabe: Farbmétrisches Drucker-Reflektiv-System ORS20_95, L*=20_95 für relative CIELAB-Buntton $h^* = lab^*h^* = h_{ab}/360 = 0.117$ $u^* = r25j$
 Daten für jede Farbe: $lab^*L^*a^*b^*$ und $lab^*i^*c^*$
 Bunttonexte: $u^* = r25j$ $u^*a^* = o17y$
 Kontrastreduzierungsfaktor: $c_p = 1.0$
 Dreiecks-Helligkeit r^*

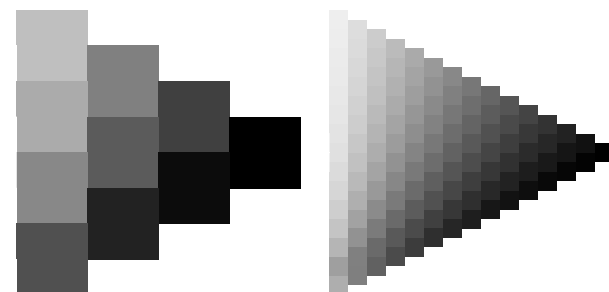
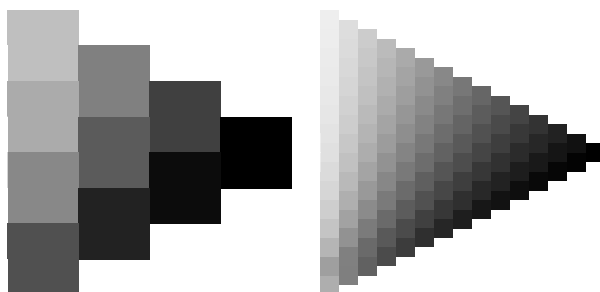
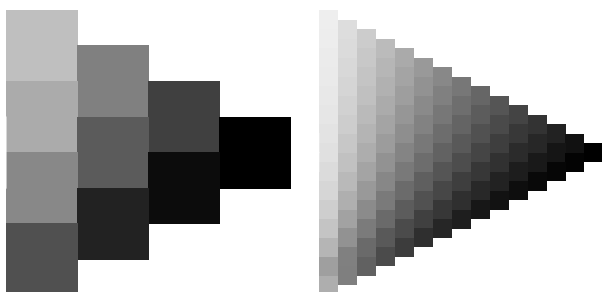
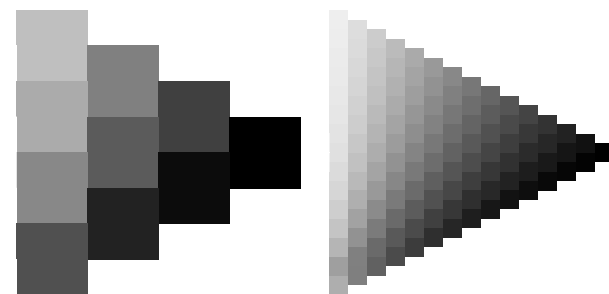
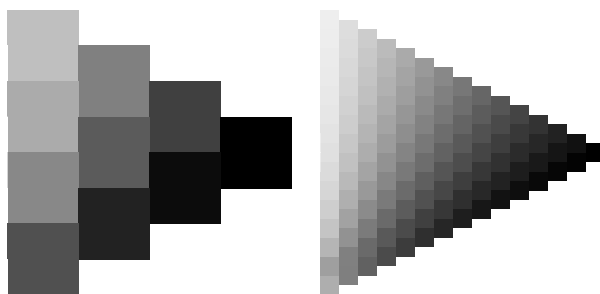
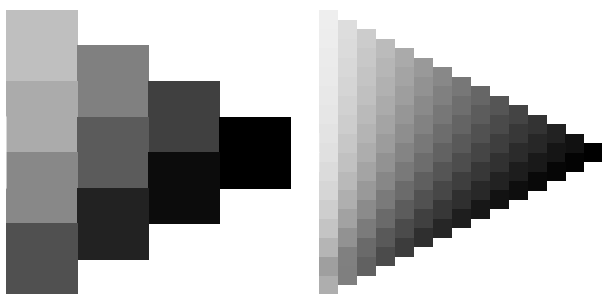
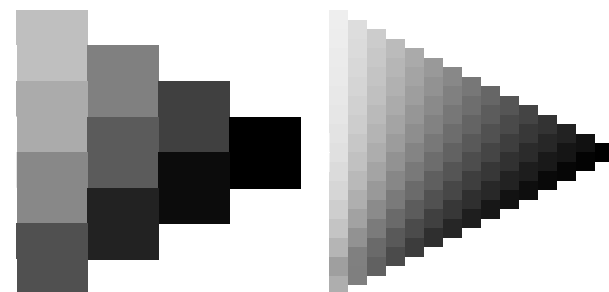
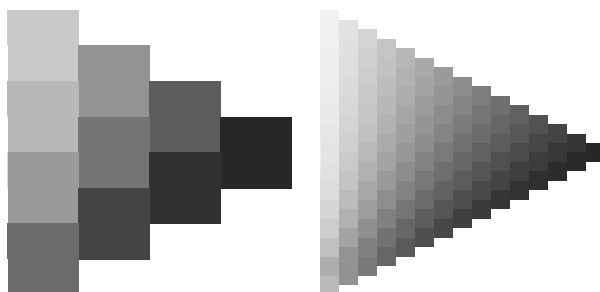
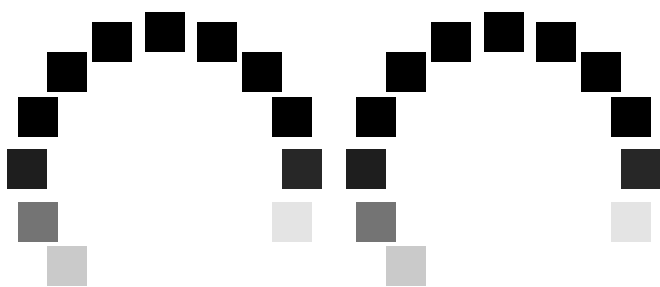
ORS20_95a adaptierte CIELAB-Daten

n^*	L^*	a^*	b^*	C_{10a}	C_{10b}	C_{10c}	m^*
o42y	48.89	66.19	40.28	77.48	31	m64a	0.0
o69a	53.95	53.38	48.38	72.04	42	o17a	0.0
o93a	63.16	35.87	59.45	69.43	59	o42y	0.0
o17a	73.37	18.14	70.66	72.95	76	o69a	0.0
o42y	85.24	-3.4	84.28	84.35	92	o93a	0.0
o69a	78.53	-25.99	72.23	76.76	110	y24a	0.0
y24a	68.25	-42.61	56.0	70.37	127	v55a	0.0
v55a	58.73	-57.99	40.99	71.02	145	v83a	0.0
v83a	55.66	-58.35	18.71	61.27	162	i12a	0.0
i12a	58.18	-46.2	-7.82	46.86	190	i45a	0.0
i45a	60.08	-37.02	-27.87	46.34	217	f76a	0.0
f76a	59.51	-20.63	-42.98	47.67	244	e10a	0.0
e10a	41.38	1.37	-45.05	45.07	272	c58a	0.0
c58a	26.43	27.03	-46.5	53.78	300	v09a	0.0
v09a	36.22	48.22	-29.42	56.48	329	v50a	0.0
v50a	47.81	72.75	-3.76	72.85	357	m10a	0.0









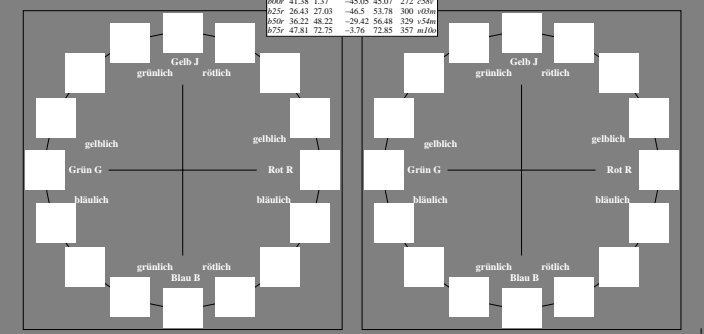
Ein und Ausgabe: Farbmétrisches Drucker-Reflektiv-System ORS20_95a
 Daten für jede Farbe: lab^*a^* und lab^*b^*
 Elementar-Bunttonexte:
 $u^* = 16$ Brillantheit r_{50} , ... b_{75r}
 Kontrastreduzierungsfaktor:
 $c_p = 1.0$

ORS20_95a adaptierte CIELAB-Daten

L^*	a^*	b^*	C_{ab}	h_{ab}	m_{ab}
60.0	47.06	67.41	32.12	74.67	25 m60a
62.5	53.95	53.38	48.38	72.04	42 o17a
65.0	63.6	35.87	59.45	69.43	59 o42a
67.5	73.37	18.14	70.66	72.95	76 o69a
70.0	85.24	-3.4	84.28	84.35	92 o93a
72.5	78.53	-25.99	72.23	76.76	110 s24a
75.0	68.25	-42.61	56.0	70.37	127 s51a
77.5	58.73	-57.99	40.99	71.02	145 s81a
80.0	55.66	-58.35	38.71	61.27	162 i12a
82.5	58.18	-46.2	-7.82	46.86	190 i45a
85.0	60.08	-37.02	-27.87	46.34	217 i76a
87.5	55.21	-20.63	-42.98	47.67	244 i106a
90.0	41.38	1.37	-45.05	45.07	272 c58a
92.5	26.43	27.03	-4.5	53.78	300 i09a
95.0	36.22	48.22	-29.42	56.48	329 i54a
97.5	47.81	72.75	-3.76	72.85	357 m10a

ORS20_95a adaptierte CIELAB-Daten

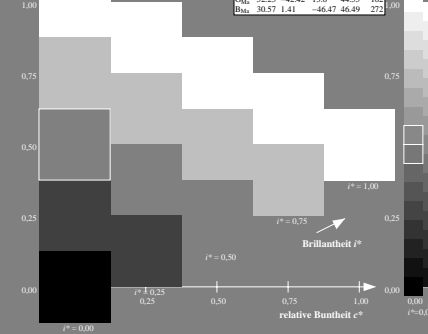
L^*	a^*	b^*	C_{ab}	h_{ab}	m_{ab}
60.0	46.89	66.19	40.28	77.48	31
62.5	53.95	53.38	48.38	72.04	42
65.0	63.2	65.29	33.87	73.56	153
67.5	61.43	-30.53	-42.04	51.96	234
70.0	25.93	25.95	-47.37	54.01	299
72.5	47.92	73.53	-0.02	74.08	353
75.0	20.41	0.0	0.0	0.0	0
77.5	94.64	0.0	0.0	0.0	0
80.0	39.92	58.74	27.99	65.07	25
82.5	81.26	-2.89	71.56	71.62	92
85.0	52.23	-42.42	13.6	44.55	162
87.5	30.57	1.41	-46.47	46.49	272



Ein und Ausgabe: Farbmétrisches Drucker-Reflektiv-System ORS20_95, L*=20_95 für relative CIELAB-Buntton $h^* = lab^*h^* = h_{ab}/360 = 0.071$ $u^* = r_{50}$
 Daten für jede Farbe: lab^*a^* und lab^*b^*
 Bunttonexte:
 $u^* = r_{50}$ $u^*a^* = m64a$
 Kontrastreduzierungsfaktor:
 $c_p = 1.0$
 Dreiecks-Helligkeit r^*

ORS20_95a adaptierte CIELAB-Daten

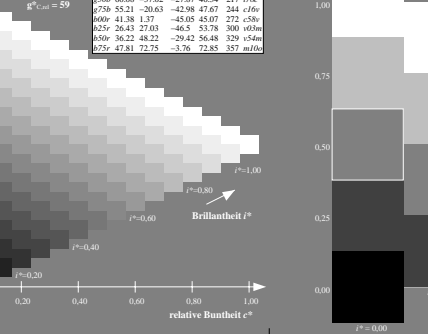
L^*	a^*	b^*	C_{ab}	h_{ab}	m_{ab}
60.0	46.89	66.19	40.28	77.48	31
62.5	53.95	53.38	48.38	72.04	42
65.0	63.2	65.29	33.87	73.56	153
67.5	61.43	-30.53	-42.04	51.96	234
70.0	25.93	25.95	-47.37	54.01	299
72.5	47.92	73.53	-0.02	74.08	353
75.0	20.41	0.0	0.0	0.0	0
77.5	94.64	0.0	0.0	0.0	0
80.0	39.92	58.74	27.99	65.07	25
82.5	81.26	-2.89	71.56	71.62	92
85.0	52.23	-42.42	13.6	44.55	162
87.5	30.57	1.41	-46.47	46.49	272



Ein und Ausgabe: Farbmétrisches Drucker-Reflektiv-System ORS20_95, L*=20_95 für relative CIELAB-Buntton $h^* = lab^*h^* = h_{ab}/360 = 0.117$ $u^* = r_{50}$
 Daten für jede Farbe: lab^*a^* und lab^*b^*
 Bunttonexte:
 $u^* = r_{50}$ $u^*a^* = o17a$
 Kontrastreduzierungsfaktor:
 $c_p = 1.0$
 Dreiecks-Helligkeit r^*

ORS20_95a adaptierte CIELAB-Daten

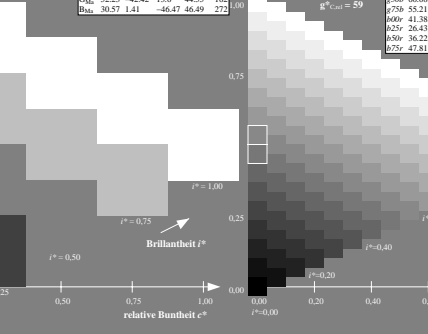
L^*	a^*	b^*	C_{ab}	h_{ab}	m_{ab}
60.0	47.06	67.41	32.12	74.67	25 m60a
62.5	53.95	53.38	48.38	72.04	42 o17a
65.0	63.6	35.87	59.45	69.43	59 o42a
67.5	73.37	18.14	70.66	72.95	76 o69a
70.0	85.24	-3.4	84.28	84.35	92 o93a
72.5	78.53	-25.99	72.23	76.76	110 s24a
75.0	68.25	-42.61	56.0	70.37	127 s51a
77.5	58.73	-57.99	40.99	71.02	145 s81a
80.0	55.66	-58.35	38.71	61.27	162 i12a
82.5	58.18	-46.2	-7.82	46.86	190 i45a
85.0	60.08	-37.02	-27.87	46.34	217 i76a
87.5	55.21	-20.63	-42.98	47.67	244 i106a
90.0	41.38	1.37	-45.05	45.07	272 c58a
92.5	26.43	27.03	-4.5	53.78	300 i09a
95.0	36.22	48.22	-29.42	56.48	329 i54a
97.5	47.81	72.75	-3.76	72.85	357 m10a



Ein und Ausgabe: Farbmétrisches Drucker-Reflektiv-System ORS20_95, L*=20_95 für relative CIELAB-Buntton $h^* = lab^*h^* = h_{ab}/360 = 0.164$ $u^* = r_{50}$
 Daten für jede Farbe: lab^*a^* und lab^*b^*
 Bunttonexte:
 $u^* = r_{50}$ $u^*a^* = o42a$
 Kontrastreduzierungsfaktor:
 $c_p = 1.0$
 Dreiecks-Helligkeit r^*

ORS20_95a adaptierte CIELAB-Daten

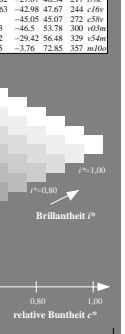
L^*	a^*	b^*	C_{ab}	h_{ab}	m_{ab}
60.0	46.89	66.19	40.28	77.48	31
62.5	53.95	53.38	48.38	72.04	42
65.0	63.2	65.29	33.87	73.56	153
67.5	61.43	-30.53	-42.04	51.96	234
70.0	25.93	25.95	-47.37	54.01	299
72.5	47.92	73.53	-0.02	74.08	353
75.0	20.41	0.0	0.0	0.0	0
77.5	94.64	0.0	0.0	0.0	0
80.0	39.92	58.74	27.99	65.07	25
82.5	81.26	-2.89	71.56	71.62	92
85.0	52.23	-42.42	13.6	44.55	162
87.5	30.57	1.41	-46.47	46.49	272



Ein und Ausgabe: Farbmétrisches Drucker-Reflektiv-System ORS20_95, L*=20_95 für relative CIELAB-Buntton $h^* = lab^*h^* = h_{ab}/360 = 0.21$ $u^* = r_{50}$
 Daten für jede Farbe: lab^*a^* und lab^*b^*
 Bunttonexte:
 $u^* = r_{50}$ $u^*a^* = o64a$
 Kontrastreduzierungsfaktor:
 $c_p = 1.0$
 Dreiecks-Helligkeit r^*

ORS20_95a adaptierte CIELAB-Daten

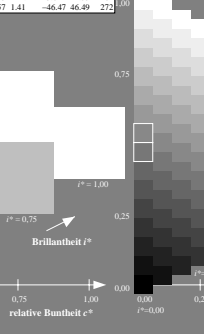
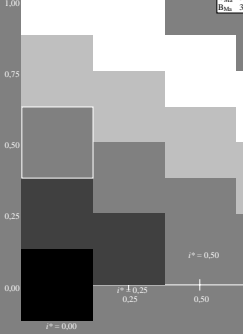
L^*	a^*	b^*	C_{ab}	h_{ab}	m_{ab}
60.0	46.89	66.19	40.28	77.48	31
62.5	53.95	53.38	48.38	72.04	42
65.0	63.2	65.29	33.87	73.56	153
67.5	61.43	-30.53	-42.04	51.96	234
70.0	25.93	25.95	-47.37	54.01	299
72.5	47.92	73.53	-0.02	74.08	353
75.0	20.41	0.0	0.0	0.0	0
77.5	94.64	0.0	0.0	0.0	0
80.0	39.92	58.74	27.99	65.07	25
82.5	81.26	-2.89	71.56	71.62	92
85.0	52.23	-42.42	13.6	44.55	162
87.5	30.57	1.41	-46.47	46.49	272



Ein und Ausgabe: Farbmétrisches Drucker-Reflektiv-System ORS20_95, L*=20_95 für relative CIELAB-Buntton $h^* = lab^*h^* = h_{ab}/360 = 0.256$ $u^* = r_{50}$
 Daten für jede Farbe: lab^*a^* und lab^*b^*
 Bunttonexte:
 $u^* = r_{50}$ $u^*a^* = o93a$
 Kontrastreduzierungsfaktor:
 $c_p = 1.0$
 Dreiecks-Helligkeit r^*

ORS20_95a adaptierte CIELAB-Daten

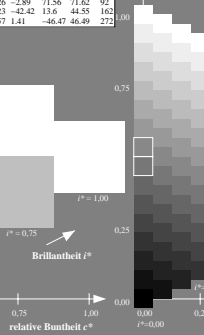
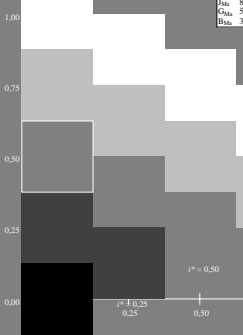
L^*	a^*	b^*	C_{ab}	h_{ab}	m_{ab}
60.0	46.89	66.19	40.28	77.48	31
62.5	53.95	53.38	48.38	72.04	42
65.0	63.2	65.29	33.87	73.56	153
67.5	61.43	-30.53	-42.04	51.96	234
70.0	25.93	25.95	-47.37	54.01	299
72.5	47.92	73.53	-0.02	74.08	353
75.0	20.41	0.0	0.0	0.0	0
77.5	94.64	0.0	0.0	0.0	0
80.0	39.92	58.74	27.99	65.07	25
82.5	81.26	-2.89	71.56	71.62	92
85.0	52.23	-42.42	13.6	44.55	162
87.5	30.57	1.41	-46.47	46.49	272



Ein und Ausgabe: Farbmétrisches Drucker-Reflektiv-System ORS20_95, L*=20_95 für relative CIELAB-Buntton $h^* = lab^*h^* = h_{ab}/360 = 0.305$ $u^* = r_{50}$
 Daten für jede Farbe: lab^*a^* und lab^*b^*
 Bunttonexte:
 $u^* = r_{50}$ $u^*a^* = o64a$
 Kontrastreduzierungsfaktor:
 $c_p = 1.0$
 Dreiecks-Helligkeit r^*

ORS20_95a adaptierte CIELAB-Daten

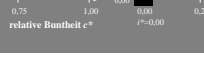
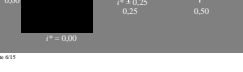
L^*	a^*	b^*	C_{ab}	h_{ab}	m_{ab}
60.0	46.89	66.19	40.28	77.48	31
62.5	53.95	53.38	48.38	72.04	42
65.0	63.2	65.29	33.87	73.56	153
67.5	61.43	-30.53	-42.04	51.96	234
70.0	25.93	25.95	-47.37	54.01	299
72.5	47.92	73.53	-0.02	74.08	353
75.0	20.41	0.0	0.0	0.0	0
77.5	94.64	0.0	0.0	0.0	0
80.0	39.92	58.74	27.99	65.07	25
82.5	81.26	-2.89	71.56	71.62	92
85.0	52.23	-42.42	13.6	44.55	162
87.5	30.57	1.41	-46.47	46.49	272



Ein und Ausgabe: Farbmétrisches Drucker-Reflektiv-System ORS20_95, L*=20_95 für relative CIELAB-Buntton $h^* = lab^*h^* = h_{ab}/360 = 0.354$ $u^* = r_{50}$
 Daten für jede Farbe: lab^*a^* und lab^*b^*
 Bunttonexte:
 $u^* = r_{50}$ $u^*a^* = o35a$
 Kontrastreduzierungsfaktor:
 $c_p = 1.0$
 Dreiecks-Helligkeit r^*

ORS20_95a adaptierte CIELAB-Daten

L^*	a^*	b^*	C_{ab}	h_{ab}	m_{ab}
60.0	46.89	66.19	40.28	77.48	31
62.5	53.95	53.38	48.38	72.04	42
65.0	63.2	65.29	33.87	73.56	153
67.5	61.43	-30.53	-42.04	51.96	234
70.0	25.93	25.95	-47.37	54.01	299
72.5	47.92	73.53	-0.02	74.08	353
75.0	20.41	0.0	0.0	0.0	0
77.5	94.64	0.0	0.0	0.0	0
80.0	39.92	58.74	27.99	65.07	25
82.5	81.26	-2.89	71.56	71.62	92
85.0	52.23	-42.42	13.6	44.55	162
87.5	30.57	1.41	-46.47	46.49	272



Ein und Ausgabe: Farbmétrisches Drucker-Reflektiv-System ORS20_95, L*=20_95 für relative CIELAB-Buntton $h^* = lab^*h^* = h_{ab}/360 = 0.402$ $u^* = r_{50}$
 Daten für jede Farbe: lab^*a^* und lab^*b^*
 Bunttonexte:
 $u^* = r_{50}$ $u^*a^* = o35a$
 Kontrastreduzierungsfaktor:
 $c_p = 1.0$
 Dreiecks-Helligkeit r^*

ORS20_95a adaptierte CIELAB-Daten

L^*	a^*	b^*	C_{ab}	h_{ab}	m_{ab}
60.0	46.89	66.19	40.28	77.48	31
62.5	53.95	53.38	48.38	72.04	42
65.0	63.2	65.29	33.87	73.56	153
67.5	61.43	-30.53	-42.04	51.96	234
70.0	25.93	25.95	-47.37	54.01	299
72.5	47.92	73.53	-0.02	74.08	353
75.0	20.41	0.0	0.0	0.0	0
77.5	94.64	0.0	0.0	0.0	0
80.0	39.92	58.74	27.99	65.07	25
82.5	81.26	-2.89	71.56	71.62	92
85.0	52.23	-42.42	13.6	44.55	162
87.5	30.57	1.41	-46.47	46.49	272



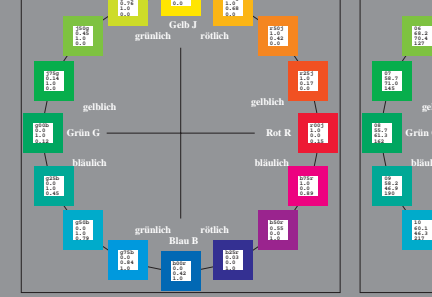
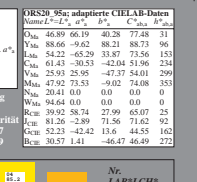
Ein und Ausgabe: Farbmétrisches Drucker-Reflektiv-System ORS20_95a
 Daten für jede Farbe:
 $lab^*L^*a^*b^*$ und $lab^*v^*c^*$
 Elementar-Bunttonste: $n^* = 16$ Bunttonste $r25j, r02j, \dots, b75j$
 Kontrastreduzierungsfaktor:
 $c_p = 1.0$

ORS20_95a adaptierte CIE-LAB-Daten

L^*	a^*	b^*	C_{ab}^*	h_{ab}^*	n^*
70.09	47.06	67.41	32.12	74.67	25 m64a
62.71	53.95	53.38	48.38	72.04	42 oi7a
59.09	63.6	35.87	59.45	69.43	59 ai2a
51.29	73.37	18.14	70.66	72.95	76 o6a
46.00	85.24	-3.4	84.28	84.35	92 o9a
42.57	78.53	-25.99	72.23	76.76	110 j24a
40.9	68.25	-42.61	56.0	70.37	127 i55a
37.5	58.73	-57.99	40.99	71.02	145 i85a
36.00	55.66	-58.35	18.71	61.27	162 i12a
32.58	58.18	-46.2	-7.82	46.86	190 i45a
31.00	60.08	-37.02	-27.87	46.34	217 i76a
27.98	55.21	-20.63	-42.98	47.67	244 i10a
26.00	41.38	13.7	-45.05	45.07	272 c58a
22.7	26.43	27.03	-4.5	53.78	300 i69a
15.9	36.23	48.22	-29.42	56.48	329 i54a
10.7	47.81	72.75	-3.76	72.85	357 m16a

ORS20_95a adaptierte CIE-LAB-Daten

L^*	a^*	b^*	C_{ab}^*	h_{ab}^*	n^*
46.89	66.19	40.28	77.48	31	
53.95	53.38	48.38	72.04	42	
54.22	-65.29	33.87	73.56	153	
61.43	-30.53	-42.04	51.96	234	
55.93	25.95	-47.37	54.01	299	
47.92	73.53	-0.02	74.08	353	
20.41	0.0	0.0	0.0	0	
94.64	0.0	0.0	0.0	0	
39.92	58.74	27.99	65.07	25	
81.26	-2.89	71.56	71.62	92	
52.23	-42.42	11.6	44.55	162	
30.57	1.41	-46.47	46.49	272	



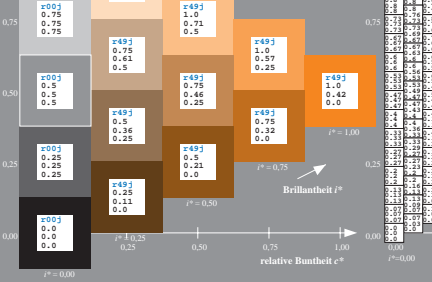
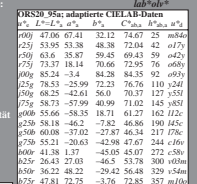
Ein und Ausgabe: Farbmétrisches Drucker-Reflektiv-System ORS20_95, L=20_95 für relative CIE-LAB-Buntton $h^* = lab^*h^* = h_{ab}/360 = 0.164$ $n^* = r50j$
 Daten für jede Farbe:
 $lab^*L^*a^*b^*$ und $lab^*v^*c^*$
 Bunttonste: $n^* = r50j$ $n^*a^* = a2j$
 Kontrastreduzierungsfaktor:
 $c_p = 1.0$
 Dreiecks-Helligkeit r^*

ORS20_95a adaptierte CIE-LAB-Daten

L^*	a^*	b^*	C_{ab}^*	h_{ab}^*	n^*
46.89	66.19	40.28	77.48	31	
53.95	53.38	48.38	72.04	42	
54.22	-65.29	33.87	73.56	153	
61.43	-30.53	-42.04	51.96	234	
55.93	25.95	-47.37	54.01	299	
47.92	73.53	-0.02	74.08	353	
20.41	0.0	0.0	0.0	0	
94.64	0.0	0.0	0.0	0	
39.92	58.74	27.99	65.07	25	
81.26	-2.89	71.56	71.62	92	
52.23	-42.42	11.6	44.55	162	
30.57	1.41	-46.47	46.49	272	

ORS20_95a adaptierte CIE-LAB-Daten

L^*	a^*	b^*	C_{ab}^*	h_{ab}^*	n^*
46.89	66.19	40.28	77.48	31	
53.95	53.38	48.38	72.04	42	
54.22	-65.29	33.87	73.56	153	
61.43	-30.53	-42.04	51.96	234	
55.93	25.95	-47.37	54.01	299	
47.92	73.53	-0.02	74.08	353	
20.41	0.0	0.0	0.0	0	
94.64	0.0	0.0	0.0	0	
39.92	58.74	27.99	65.07	25	
81.26	-2.89	71.56	71.62	92	
52.23	-42.42	11.6	44.55	162	
30.57	1.41	-46.47	46.49	272	



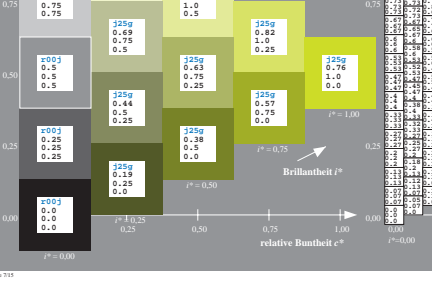
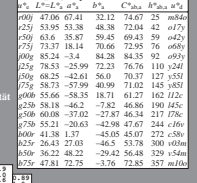
Ein und Ausgabe: Farbmétrisches Drucker-Reflektiv-System ORS20_95, L=20_95 für relative CIE-LAB-Buntton $h^* = lab^*h^* = h_{ab}/360 = 0.305$ $n^* = r25j$
 Daten für jede Farbe:
 $lab^*L^*a^*b^*$ und $lab^*v^*c^*$
 Bunttonste: $n^* = r25j$ $n^*a^* = a2j$
 Kontrastreduzierungsfaktor:
 $c_p = 1.0$
 Dreiecks-Helligkeit r^*

ORS20_95a adaptierte CIE-LAB-Daten

L^*	a^*	b^*	C_{ab}^*	h_{ab}^*	n^*
46.89	66.19	40.28	77.48	31	
53.95	53.38	48.38	72.04	42	
54.22	-65.29	33.87	73.56	153	
61.43	-30.53	-42.04	51.96	234	
55.93	25.95	-47.37	54.01	299	
47.92	73.53	-0.02	74.08	353	
20.41	0.0	0.0	0.0	0	
94.64	0.0	0.0	0.0	0	
39.92	58.74	27.99	65.07	25	
81.26	-2.89	71.56	71.62	92	
52.23	-42.42	11.6	44.55	162	
30.57	1.41	-46.47	46.49	272	

ORS20_95a adaptierte CIE-LAB-Daten

L^*	a^*	b^*	C_{ab}^*	h_{ab}^*	n^*
46.89	66.19	40.28	77.48	31	
53.95	53.38	48.38	72.04	42	
54.22	-65.29	33.87	73.56	153	
61.43	-30.53	-42.04	51.96	234	
55.93	25.95	-47.37	54.01	299	
47.92	73.53	-0.02	74.08	353	
20.41	0.0	0.0	0.0	0	
94.64	0.0	0.0	0.0	0	
39.92	58.74	27.99	65.07	25	
81.26	-2.89	71.56	71.62	92	
52.23	-42.42	11.6	44.55	162	
30.57	1.41	-46.47	46.49	272	



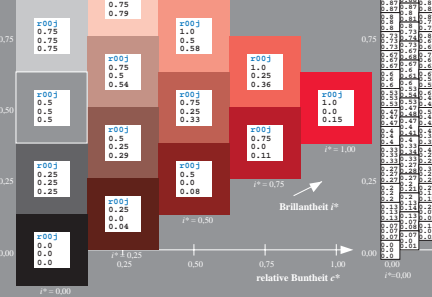
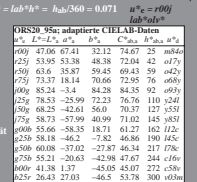
Ein und Ausgabe: Farbmétrisches Drucker-Reflektiv-System ORS20_95, L=20_95 für relative CIE-LAB-Buntton $h^* = lab^*h^* = h_{ab}/360 = 0.071$ $n^* = r00j$
 Daten für jede Farbe:
 $lab^*L^*a^*b^*$ und $lab^*v^*c^*$
 Bunttonste: $n^* = r00j$ $n^*a^* = m64a$
 Kontrastreduzierungsfaktor:
 $c_p = 1.0$
 Dreiecks-Helligkeit r^*

ORS20_95a adaptierte CIE-LAB-Daten

L^*	a^*	b^*	C_{ab}^*	h_{ab}^*	n^*
46.89	66.19	40.28	77.48	31	
53.95	53.38	48.38	72.04	42	
54.22	-65.29	33.87	73.56	153	
61.43	-30.53	-42.04	51.96	234	
55.93	25.95	-47.37	54.01	299	
47.92	73.53	-0.02	74.08	353	
20.41	0.0	0.0	0.0	0	
94.64	0.0	0.0	0.0	0	
39.92	58.74	27.99	65.07	25	
81.26	-2.89	71.56	71.62	92	
52.23	-42.42	11.6	44.55	162	
30.57	1.41	-46.47	46.49	272	

ORS20_95a adaptierte CIE-LAB-Daten

L^*	a^*	b^*	C_{ab}^*	h_{ab}^*	n^*
46.89	66.19	40.28	77.48	31	
53.95	53.38	48.38	72.04	42	
54.22	-65.29	33.87	73.56	153	
61.43	-30.53	-42.04	51.96	234	
55.93	25.95	-47.37	54.01	299	
47.92	73.53	-0.02	74.08	353	
20.41	0.0	0.0	0.0	0	
94.64	0.0	0.0	0.0	0	
39.92	58.74	27.99	65.07	25	
81.26	-2.89	71.56	71.62	92	
52.23	-42.42	11.6	44.55	162	
30.57	1.41	-46.47	46.49	272	



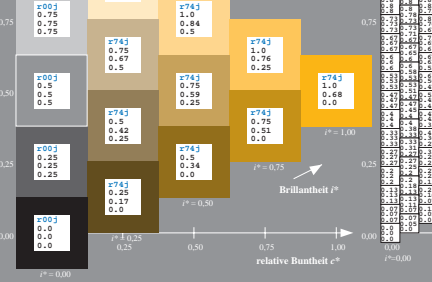
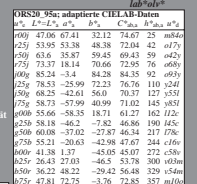
Ein und Ausgabe: Farbmétrisches Drucker-Reflektiv-System ORS20_95, L=20_95 für relative CIE-LAB-Buntton $h^* = lab^*h^* = h_{ab}/360 = 0.21$ $n^* = r25j$
 Daten für jede Farbe:
 $lab^*L^*a^*b^*$ und $lab^*v^*c^*$
 Bunttonste: $n^* = r25j$ $n^*a^* = m64a$
 Kontrastreduzierungsfaktor:
 $c_p = 1.0$
 Dreiecks-Helligkeit r^*

ORS20_95a adaptierte CIE-LAB-Daten

L^*	a^*	b^*	C_{ab}^*	h_{ab}^*	n^*
46.89	66.19	40.28	77.48	31	
53.95	53.38	48.38	72.04	42	
54.22	-65.29	33.87	73.56	153	
61.43	-30.53	-42.04	51.96	234	
55.93	25.95	-47.37	54.01	299	
47.92	73.53	-0.02	74.08	353	
20.41	0.0	0.0	0.0	0	
94.64	0.0	0.0	0.0	0	
39.92	58.74	27.99	65.07	25	
81.26	-2.89	71.56	71.62	92	
52.23	-42.42	11.6	44.55	162	
30.57	1.41	-46.47	46.49	272	

ORS20_95a adaptierte CIE-LAB-Daten

L^*	a^*	b^*	C_{ab}^*	h_{ab}^*	n^*
46.89	66.19	40.28	77.48	31	
53.95	53.38	48.38	72.04	42	
54.22	-65.29	33.87	73.56	153	
61.43	-30.53	-42.04	51.96	234	
55.93	25.95	-47.37	54.01	299	
47.92	73.53	-0.02	74.08	353	
20.41	0.0	0.0	0.0	0	
94.64	0.0	0.0	0.0	0	
39.92	58.74	27.99	65.07	25	
81.26	-2.89	71.56	71.62	92	
52.23	-42.42	11.6	44.55	162	
30.57	1.41	-46.47	46.49	272	



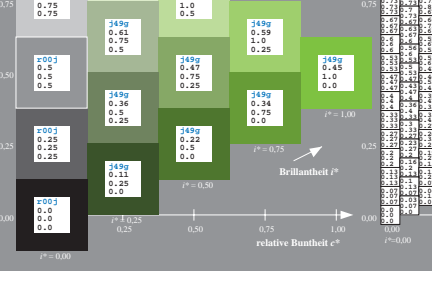
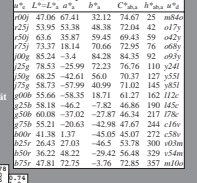
Ein und Ausgabe: Farbmétrisches Drucker-Reflektiv-System ORS20_95, L=20_95 für relative CIE-LAB-Buntton $h^* = lab^*h^* = h_{ab}/360 = 0.354$ $n^* = r50j$
 Daten für jede Farbe:
 $lab^*L^*a^*b^*$ und $lab^*v^*c^*$
 Bunttonste: $n^* = r50j$ $n^*a^* = y55j$
 Kontrastreduzierungsfaktor:
 $c_p = 1.0$
 Dreiecks-Helligkeit r^*

ORS20_95a adaptierte CIE-LAB-Daten

L^*	a^*	b^*	C_{ab}^*	h_{ab}^*	n^*
46.89	66.19	40.28	77.48	31	
53.95	53.38	48.38	72.04	42	
54.22	-65.29	33.87	73.56	153	
61.43	-30.53	-42.04	51.96	234	
55.93	25.95	-47.37	54.01	299	
47.92	73.53	-0.02	74.08	353	
20.41	0.0	0.0	0.0	0	
94.64	0.0	0.0	0.0	0	
39.92	58.74	27.99	65.07	25	
81.26	-2.89	71.56	71.62	92	
52.23	-42.42	11.6	44.55	162	
30.57	1.41	-46.47	46.49	272	

ORS20_95a adaptierte CIE-LAB-Daten

L^*	a^*	b^*	C_{ab}^*	h_{ab}^*	n^*
46.89	66.19	40.28	77.48	31	
53.95	53.38	48.38	72.04	42	
54.22	-65.29	33.87	73.56	153	
61.43	-30.53	-42.04	51.96	234	
55.93	25.95	-47.37	54.01	299	
47.92	73.53	-0.02	74.08	353	
20.41	0.0	0.0	0.0	0	
94.64	0.0	0.0	0.0	0	
39.92	58.74	27.99	65.07	25	
81.26	-2.89	71.56	71.62	92	
52.23	-42.42	11.6	44.55	162	
30.57	1.41	-46.47	46.49	272	



Ein und Ausgabe: Farbmétrisches Drucker-Reflektiv-System ORS20_95, L

Ein und Ausgabe: Farbmétrisches Drucker-Reflektiv-System ORS20_95a
Daten für jede Farbe:
 $lab^*c^*h^*$ und $lab^*i^*c^*h^*$
Elementar-Bunttonste:
 $u^*_a = 16$ Bunttonste $r25j$, $u^*_a = b75j$
Kontrastreduzierungsfaktor:
 $c_p = 1.0$

ORS20_95a adaptierte CIELAB-Daten
 $L^* a^* b^*$ $L^* u^*_a v^*_a$ $L^* i^* c^* h^*$ $L^* i^* c^* h^*$

Y ₅₀	47.06	67.41	32.12	74.67	25	m64a
Z ₅₀	53.95	53.38	48.38	72.04	42	o17a
Lau	54.22	-65.29	33.87	73.56	153	
Lbu	73.37	18.14	70.66	72.95	76	o68a
Lvu	85.24	-3.4	84.28	84.35	92	o93a
L25	78.53	-25.99	72.23	76.76	110	s24a
L50	68.25	-42.61	56.0	70.37	127	s51a
L75	58.73	-57.99	40.99	71.02	145	s81a
L86	55.66	-58.35	18.71	61.27	162	i22a
L92	58.18	-46.2	-7.82	46.86	190	i45a
L96	60.08	-37.02	-27.87	46.34	217	i76a
L98	55.21	-20.63	-42.98	47.67	244	i96a
L99	41.38	13.7	-45.05	45.07	272	c58a
L25	26.43	27.03	-4.5	53.78	300	o96a
L50	36.23	48.22	-29.42	56.48	329	s54a
L75	47.81	72.75	-3.76	72.85	357	m16a



ORS20_95a adaptierte CIELAB-Daten
 $L^* L^* u^*_a v^*_a$ $L^* i^* c^* h^*$ $L^* i^* c^* h^*$

Y ₅₀	46.89	66.19	40.28	77.48	31	
Z ₅₀	53.95	53.38	48.38	72.04	42	o17a
Lau	54.22	-65.29	33.87	73.56	153	
Lbu	73.37	18.14	70.66	72.95	76	o68a
Lvu	85.24	-3.4	84.28	84.35	92	o93a
L25	78.53	-25.99	72.23	76.76	110	s24a
L50	68.25	-42.61	56.0	70.37	127	s51a
L75	58.73	-57.99	40.99	71.02	145	s81a
L86	55.66	-58.35	18.71	61.27	162	i22a
L92	58.18	-46.2	-7.82	46.86	190	i45a
L96	60.08	-37.02	-27.87	46.34	217	i76a
L98	55.21	-20.63	-42.98	47.67	244	i96a
L99	41.38	13.7	-45.05	45.07	272	c58a
L25	26.43	27.03	-4.5	53.78	300	o96a
L50	36.23	48.22	-29.42	56.48	329	s54a
L75	47.81	72.75	-3.76	72.85	357	m16a

Ein und Ausgabe: Farbmétrisches Drucker-Reflektiv-System ORS20_95, L*=20_95 für relative CIELAB-Buntton $h^* = lab^*h^* = h_{ab}/360 = 0.071$ $u^*_a = r50j$
Daten für jede Farbe:
 $lab^*c^*h^*$ und $lab^*i^*c^*h^*$
Bunttonste:
 $u^*_a = r50j$ $u^*_a = m64a$
Kontrastreduzierungsfaktor:
 $c_p = 1.0$
Dreiecks-Helligkeit i^*



ORS20_95a adaptierte CIELAB-Daten
 $L^* L^* u^*_a v^*_a$ $L^* i^* c^* h^*$ $L^* i^* c^* h^*$

Y ₅₀	46.89	66.19	40.28	77.48	31	
Z ₅₀	53.95	53.38	48.38	72.04	42	o17a
Lau	54.22	-65.29	33.87	73.56	153	
Lbu	73.37	18.14	70.66	72.95	76	o68a
Lvu	85.24	-3.4	84.28	84.35	92	o93a
L25	78.53	-25.99	72.23	76.76	110	s24a
L50	68.25	-42.61	56.0	70.37	127	s51a
L75	58.73	-57.99	40.99	71.02	145	s81a
L86	55.66	-58.35	18.71	61.27	162	i22a
L92	58.18	-46.2	-7.82	46.86	190	i45a
L96	60.08	-37.02	-27.87	46.34	217	i76a
L98	55.21	-20.63	-42.98	47.67	244	i96a
L99	41.38	13.7	-45.05	45.07	272	c58a
L25	26.43	27.03	-4.5	53.78	300	o96a
L50	36.23	48.22	-29.42	56.48	329	s54a
L75	47.81	72.75	-3.76	72.85	357	m16a

ORS20_95a adaptierte CIELAB-Daten
 $L^* L^* u^*_a v^*_a$ $L^* i^* c^* h^*$ $L^* i^* c^* h^*$

Y ₅₀	46.89	66.19	40.28	77.48	31	
Z ₅₀	53.95	53.38	48.38	72.04	42	o17a
Lau	54.22	-65.29	33.87	73.56	153	
Lbu	73.37	18.14	70.66	72.95	76	o68a
Lvu	85.24	-3.4	84.28	84.35	92	o93a
L25	78.53	-25.99	72.23	76.76	110	s24a
L50	68.25	-42.61	56.0	70.37	127	s51a
L75	58.73	-57.99	40.99	71.02	145	s81a
L86	55.66	-58.35	18.71	61.27	162	i22a
L92	58.18	-46.2	-7.82	46.86	190	i45a
L96	60.08	-37.02	-27.87	46.34	217	i76a
L98	55.21	-20.63	-42.98	47.67	244	i96a
L99	41.38	13.7	-45.05	45.07	272	c58a
L25	26.43	27.03	-4.5	53.78	300	o96a
L50	36.23	48.22	-29.42	56.48	329	s54a
L75	47.81	72.75	-3.76	72.85	357	m16a

ORS20_95a adaptierte CIELAB-Daten
 $L^* L^* u^*_a v^*_a$ $L^* i^* c^* h^*$ $L^* i^* c^* h^*$

Y ₅₀	46.89	66.19	40.28	77.48	31	
Z ₅₀	53.95	53.38	48.38	72.04	42	o17a
Lau	54.22	-65.29	33.87	73.56	153	
Lbu	73.37	18.14	70.66	72.95	76	o68a
Lvu	85.24	-3.4	84.28	84.35	92	o93a
L25	78.53	-25.99	72.23	76.76	110	s24a
L50	68.25	-42.61	56.0	70.37	127	s51a
L75	58.73	-57.99	40.99	71.02	145	s81a
L86	55.66	-58.35	18.71	61.27	162	i22a
L92	58.18	-46.2	-7.82	46.86	190	i45a
L96	60.08	-37.02	-27.87	46.34	217	i76a
L98	55.21	-20.63	-42.98	47.67	244	i96a
L99	41.38	13.7	-45.05	45.07	272	c58a
L25	26.43	27.03	-4.5	53.78	300	o96a
L50	36.23	48.22	-29.42	56.48	329	s54a
L75	47.81	72.75	-3.76	72.85	357	m16a

ORS20_95a adaptierte CIELAB-Daten
 $L^* L^* u^*_a v^*_a$ $L^* i^* c^* h^*$ $L^* i^* c^* h^*$

Y ₅₀	46.89	66.19	40.28	77.48	31	
Z ₅₀	53.95	53.38	48.38	72.04	42	o17a
Lau	54.22	-65.29	33.87	73.56	153	
Lbu	73.37	18.14	70.66	72.95	76	o68a
Lvu	85.24	-3.4	84.28	84.35	92	o93a
L25	78.53	-25.99	72.23	76.76	110	s24a
L50	68.25	-42.61	56.0	70.37	127	s51a
L75	58.73	-57.99	40.99	71.02	145	s81a
L86	55.66	-58.35	18.71	61.27	162	i22a
L92	58.18	-46.2	-7.82	46.86	190	i45a
L96	60.08	-37.02	-27.87	46.34	217	i76a
L98	55.21	-20.63	-42.98	47.67	244	i96a
L99	41.38	13.7	-45.05	45.07	272	c58a
L25	26.43	27.03	-4.5	53.78	300	o96a
L50	36.23	48.22	-29.42	56.48	329	s54a
L75	47.81	72.75	-3.76	72.85	357	m16a

ORS20_95a adaptierte CIELAB-Daten
 $L^* L^* u^*_a v^*_a$ $L^* i^* c^* h^*$ $L^* i^* c^* h^*$

Y ₅₀	46.89	66.19	40.28	77.48	31	
Z ₅₀	53.95	53.38	48.38	72.04	42	o17a
Lau	54.22	-65.29	33.87	73.56	153	
Lbu	73.37	18.14	70.66	72.95	76	o68a
Lvu	85.24	-3.4	84.28	84.35	92	o93a
L25	78.53	-25.99	72.23	76.76	110	s24a
L50	68.25	-42.61	56.0	70.37	127	s51a
L75	58.73	-57.99	40.99	71.02	145	s81a
L86	55.66	-58.35	18.71	61.27	162	i22a
L92	58.18	-46.2	-7.82	46.86	190	i45a
L96	60.08	-37.02	-27.87	46.34	217	i76a
L98	55.21	-20.63	-42.98	47.67	244	i96a
L99	41.38	13.7	-45.05	45.07	272	c58a
L25	26.43	27.03	-4.5	53.78	300	o96a
L50	36.23	48.22	-29.42	56.48	329	s54a
L75	47.81	72.75	-3.76	72.85	357	m16a

ORS20_95a adaptierte CIELAB-Daten
 $L^* L^* u^*_a v^*_a$ $L^* i^* c^* h^*$ $L^* i^* c^* h^*$

Y ₅₀	46.89	66.19	40.28	77.48	31	
Z ₅₀	53.95	53.38	48.38	72.04	42	o17a
Lau	54.22	-65.29	33.87	73.56	153	
Lbu	73.37	18.14	70.66	72.95	76	o68a
Lvu	85.24	-3.4	84.28	84.35	92	o93a
L25	78.53	-25.99	72.23	76.76	110	s24a
L50	68.25	-42.61	56.0	70.37	127	s51a
L75	58.73	-57.99	40.99	71.02	145	s81a
L86	55.66	-58.35	18.71	61.27	162	i22a
L92	58.18	-46.2	-7.82	46.86	190	i45a
L96	60.08	-37.02	-27.87	46.34	217	i76a
L98	55.21	-20.63	-42.98	47.67	244	i96a
L99	41.38	13.7	-45.05	45.07	272	c58a
L25	26.43	27.03	-4.5	53.78	300	o96a
L50	36.23	48.22	-29.42	56.48	329	s54a
L75	47.81	72.75	-3.76	72.85	357	m16a

ORS20_95a adaptierte CIELAB-Daten
 $L^* L^* u^*_a v^*_a$ $L^* i^* c^* h^*$ $L^* i^* c^* h^*$

Y ₅₀	46.89	66.19	40.28	77.48	31	
Z ₅₀	53.95	53.38	48.38	72.04	42	o17a
Lau	54.22	-65.29	33.87	73.56	153	
Lbu	73.37	18.14	70.66	72.95	76	o68a
Lvu	85.24	-3.4	84.28	84.35	92	o93a
L25	78.53	-25.99	72.23	76.76	110	s24a
L50	68.25	-42.61	56.0	70.37	127	s51a
L75	58.73	-57.99	40.99	71.02	145	s81a
L86	55.66	-58.35	18.71	61.27	162	i22a
L92	58.18	-46.2	-7.82	46.86	190	i45a
L96	60.08	-37.02	-27.87	46.34	217	i76a
L98	55.21	-20.63	-42.98	47.67	244	i96a
L99	41.38	13.7	-45.05	45.07	272	c58a
L25	26.43	27.03	-4.5	53.78	300	o96a
L50	36.23	48.22	-29.42	56.48	329	s54a
L75	47.81	72.75	-3.76	72.85	357	m16a

Ein und Ausgabe: Farbmétrisches Drucker-Reflektiv-System ORS20_95, L*=20_95 für relative CIELAB-Buntton $h^* = lab^*h^* = h_{ab}/360 = 0.164$ $u^*_a = r50j$
Daten für jede Farbe:
 $lab^*c^*h^*$ und $lab^*i^*c^*h^*$
Bunttonste:
 $u^*_a = r50j$ $u^*_a = o42j$
Kontrastreduzierungsfaktor:
 $c_p = 1.0$
Dreiecks-Helligkeit i^*

ORS20_95a adaptierte CIELAB-Daten
 $L^* L^* u^*_a v^*_a$ $L^* i^* c^* h^*$ $L^* i^* c^* h^*$

Y ₅₀	46.89	66.19	40.28	77.48	31	
Z ₅₀	53.95	53.38	48.38	72.04	42	o17a
Lau	54.22	-65.29	33.87	73.56	153	
Lbu	73.37	18.14	70.66	72.95	76	o68a
Lvu	85.24	-3.4	84.28	84.35	92	o93a
L25	78.53	-25.99	72.23	76.76	110	s24a
L50	68.25	-42.61	56.0	70.37	127	s51a
L75	58.73	-57.99	40.99	71.02	145	s81a
L86	55.66	-58.35	18.71	61.27	162	i22a
L92	58.18	-46.2	-7.82	46.86	190	i45a
L96	60.08	-37.02	-27.87	46.34	217	i76a
L98	55.21	-20.63	-42.98	47.67	244	i96a
L99	41.38	13.7	-45.05	45.07	272	c58a
L25	26.43	27.03	-4.5	53.78	300	o96a
L50	36.23	48.22	-29.42	56.48	329	s54a
L75	47.81	72.75	-3.76	72.85		

Ein und Ausgabe: Farbmatisches Drucker-Reflektiv-System ORS20_95a
Daten für jede Farbe:
lab*^a und lab*^b
u^{*} = 1.0
v^{*} = 1.0
w^{*} = 1.0
Kontrastreduzierungsfaktor:
c_g = 1.0

ORS20_95a adaptierte CIELAB-Daten
L* a* b* C_{ab} h_{ab} M_{ab} u^{*} v^{*} w^{*}

U ₁	46.89	66.19	40.28	77.48	31	1.0	0.0	0.0
U ₂	53.95	53.38	48.38	72.04	42	0.75	0.75	0.75
U ₃	54.22	-65.29	33.87	73.56	153	0.0	0.5	0.25
U ₄	73.37	18.14	70.66	72.95	76	0.0	0.0	0.75
U ₅	85.24	-3.4	84.28	84.35	92	0.0	0.0	1.0
U ₆	78.53	-25.99	72.23	76.76	110	0.25	0.25	0.25
U ₇	68.25	-42.61	56.0	70.37	127	0.5	0.5	0.5
U ₈	58.73	-57.99	40.99	71.02	145	0.75	0.75	0.75
U ₉	55.66	-58.55	18.71	61.27	162	1.0	1.0	1.0
U ₁₀	52.32	-42.42	11.6	44.55	162	0.0	0.0	0.0
U ₁₁	81.26	-2.89	71.56	71.62	92	0.0	0.0	0.0
U ₁₂	59.08	-37.02	-27.87	46.34	217	0.0	0.0	0.0
U ₁₃	73.37	18.14	70.66	72.95	76	0.0	0.0	0.0
U ₁₄	85.24	-3.4	84.28	84.35	92	0.0	0.0	0.0
U ₁₅	78.53	-25.99	72.23	76.76	110	0.25	0.25	0.25
U ₁₆	68.25	-42.61	56.0	70.37	127	0.5	0.5	0.5
U ₁₇	58.73	-57.99	40.99	71.02	145	0.75	0.75	0.75
U ₁₈	55.66	-58.55	18.71	61.27	162	1.0	1.0	1.0
U ₁₉	52.32	-42.42	11.6	44.55	162	0.0	0.0	0.0
U ₂₀	81.26	-2.89	71.56	71.62	92	0.0	0.0	0.0
U ₂₁	59.08	-37.02	-27.87	46.34	217	0.0	0.0	0.0
U ₂₂	73.37	18.14	70.66	72.95	76	0.0	0.0	0.0
U ₂₃	85.24	-3.4	84.28	84.35	92	0.0	0.0	0.0
U ₂₄	78.53	-25.99	72.23	76.76	110	0.25	0.25	0.25
U ₂₅	68.25	-42.61	56.0	70.37	127	0.5	0.5	0.5
U ₂₆	58.73	-57.99	40.99	71.02	145	0.75	0.75	0.75
U ₂₇	55.66	-58.55	18.71	61.27	162	1.0	1.0	1.0
U ₂₈	52.32	-42.42	11.6	44.55	162	0.0	0.0	0.0
U ₂₉	81.26	-2.89	71.56	71.62	92	0.0	0.0	0.0
U ₃₀	59.08	-37.02	-27.87	46.34	217	0.0	0.0	0.0
U ₃₁	73.37	18.14	70.66	72.95	76	0.0	0.0	0.0
U ₃₂	85.24	-3.4	84.28	84.35	92	0.0	0.0	0.0
U ₃₃	78.53	-25.99	72.23	76.76	110	0.25	0.25	0.25
U ₃₄	68.25	-42.61	56.0	70.37	127	0.5	0.5	0.5
U ₃₅	58.73	-57.99	40.99	71.02	145	0.75	0.75	0.75
U ₃₆	55.66	-58.55	18.71	61.27	162	1.0	1.0	1.0
U ₃₇	52.32	-42.42	11.6	44.55	162	0.0	0.0	0.0
U ₃₈	81.26	-2.89	71.56	71.62	92	0.0	0.0	0.0
U ₃₉	59.08	-37.02	-27.87	46.34	217	0.0	0.0	0.0
U ₄₀	73.37	18.14	70.66	72.95	76	0.0	0.0	0.0
U ₄₁	85.24	-3.4	84.28	84.35	92	0.0	0.0	0.0
U ₄₂	78.53	-25.99	72.23	76.76	110	0.25	0.25	0.25
U ₄₃	68.25	-42.61	56.0	70.37	127	0.5	0.5	0.5
U ₄₄	58.73	-57.99	40.99	71.02	145	0.75	0.75	0.75
U ₄₅	55.66	-58.55	18.71	61.27	162	1.0	1.0	1.0
U ₄₆	52.32	-42.42	11.6	44.55	162	0.0	0.0	0.0
U ₄₇	81.26	-2.89	71.56	71.62	92	0.0	0.0	0.0
U ₄₈	59.08	-37.02	-27.87	46.34	217	0.0	0.0	0.0
U ₄₉	73.37	18.14	70.66	72.95	76	0.0	0.0	0.0
U ₅₀	85.24	-3.4	84.28	84.35	92	0.0	0.0	0.0
U ₅₁	78.53	-25.99	72.23	76.76	110	0.25	0.25	0.25
U ₅₂	68.25	-42.61	56.0	70.37	127	0.5	0.5	0.5
U ₅₃	58.73	-57.99	40.99	71.02	145	0.75	0.75	0.75
U ₅₄	55.66	-58.55	18.71	61.27	162	1.0	1.0	1.0
U ₅₅	52.32	-42.42	11.6	44.55	162	0.0	0.0	0.0
U ₅₆	81.26	-2.89	71.56	71.62	92	0.0	0.0	0.0
U ₅₇	59.08	-37.02	-27.87	46.34	217	0.0	0.0	0.0
U ₅₈	73.37	18.14	70.66	72.95	76	0.0	0.0	0.0
U ₅₉	85.24	-3.4	84.28	84.35	92	0.0	0.0	0.0
U ₆₀	78.53	-25.99	72.23	76.76	110	0.25	0.25	0.25
U ₆₁	68.25	-42.61	56.0	70.37	127	0.5	0.5	0.5
U ₆₂	58.73	-57.99	40.99	71.02	145	0.75	0.75	0.75
U ₆₃	55.66	-58.55	18.71	61.27	162	1.0	1.0	1.0
U ₆₄	52.32	-42.42	11.6	44.55	162	0.0	0.0	0.0
U ₆₅	81.26	-2.89	71.56	71.62	92	0.0	0.0	0.0
U ₆₆	59.08	-37.02	-27.87	46.34	217	0.0	0.0	0.0
U ₆₇	73.37	18.14	70.66	72.95	76	0.0	0.0	0.0
U ₆₈	85.24	-3.4	84.28	84.35	92	0.0	0.0	0.0
U ₆₉	78.53	-25.99	72.23	76.76	110	0.25	0.25	0.25
U ₇₀	68.25	-42.61	56.0	70.37	127	0.5	0.5	0.5
U ₇₁	58.73	-57.99	40.99	71.02	145	0.75	0.75	0.75
U ₇₂	55.66	-58.55	18.71	61.27	162	1.0	1.0	1.0
U ₇₃	52.32	-42.42	11.6	44.55	162	0.0	0.0	0.0
U ₇₄	81.26	-2.89	71.56	71.62	92	0.0	0.0	0.0
U ₇₅	59.08	-37.02	-27.87	46.34	217	0.0	0.0	0.0
U ₇₆	73.37	18.14	70.66	72.95	76	0.0	0.0	0.0
U ₇₇	85.24	-3.4	84.28	84.35	92	0.0	0.0	0.0
U ₇₈	78.53	-25.99	72.23	76.76	110	0.25	0.25	0.25
U ₇₉	68.25	-42.61	56.0	70.37	127	0.5	0.5	0.5
U ₈₀	58.73	-57.99	40.99	71.02	145	0.75	0.75	0.75
U ₈₁	55.66	-58.55	18.71	61.27	162	1.0	1.0	1.0
U ₈₂	52.32	-42.42	11.6	44.55	162	0.0	0.0	0.0
U ₈₃	81.26	-2.89	71.56	71.62	92	0.0	0.0	0.0
U ₈₄	59.08	-37.02	-27.87	46.34	217	0.0	0.0	0.0
U ₈₅	73.37	18.14	70.66	72.95	76	0.0	0.0	0.0
U ₈₆	85.24	-3.4	84.28	84.35	92	0.0	0.0	0.0
U ₈₇	78.53	-25.99	72.23	76.76	110	0.25	0.25	0.25
U ₈₈	68.25	-42.61	56.0	70.37	127	0.5	0.5	0.5
U ₈₉	58.73	-57.99	40.99	71.02	145	0.75	0.75	0.75
U ₉₀	55.66	-58.55	18.71	61.27	162	1.0	1.0	1.0
U ₉₁	52.32	-42.42	11.6	44.55	162	0.0	0.0	0.0
U ₉₂	81.26	-2.89	71.56	71.62	92	0.0	0.0	0.0
U ₉₃	59.08	-37.02	-27.87	46.34	217	0.0	0.0	0.0
U ₉₄	73.37	18.14	70.66	72.95	76	0.0	0.0	0.0
U ₉₅	85.24	-3.4	84.28	84.35	92	0.0	0.0	0.0
U ₉₆	78.53	-25.99	72.23	76.76	110	0.25	0.25	0.25
U ₉₇	68.25	-42.61	56.0	70.37	127	0.5	0.5	0.5
U ₉₈	58.73	-57.99	40.99	71.02	145	0.75	0.75	0.75
U ₉₉	55.66	-58.55	18.71	61.27	162	1.0	1.0	1.0
U ₁₀₀	52.32	-42.42	11.6	44.55	162	0.0	0.0	0.0

ORS20_95a adaptierte CIELAB-Daten
L* a* b* C_{ab} h_{ab} M_{ab} u^{*} v^{*} w^{*}

U ₁	46.89	66.19	40.28	77.48	31	1.0	0.0	0.0
U ₂	53.95	53.38	48.38	72.04	42	0.75	0.75	0.75
U ₃	54.22	-65.29	33.87	73.56	153	0.0	0.5	0.25
U ₄	73.37	18.14	70.66	72.95	76	0.0	0.0	0.75
U ₅	85.24	-3.4	84.28	84.35	92	0.0	0.0	1.0
U ₆	78.53	-25.99	72.23	76.76	110	0.25	0.25	0.25
U ₇	68.25	-42.61	56.0	70.37	127	0.5	0.5	0.5
U ₈	58.73	-57.99	40.99	71.02	145	0.75	0.75	0.75
U ₉	55.66	-58.55	18.71	61.27	162	1.0	1.0	1.0
U ₁₀	52.32	-42.42	11.6	44.55	162	0.0	0.0	0.0
U ₁₁	81.26	-2.89	71.56	71.62	92	0.0	0.0	0.0
U ₁₂	59.08	-37.02	-27.87	46.34	217	0.0	0.0	0.0
U ₁₃	73.37	18.14	70.66	72.95	76	0.0	0.0	0.0
U ₁₄	85.24	-3.4	84.28	84.35	92	0.0	0.0	0.0
U ₁₅	78.53	-25.99	72.23	76.76	110	0.25	0.25	0.25
U ₁₆	68.25	-42.61	56.0	70.37	127	0.5	0.5	0.5
U ₁₇	58.73	-57.99	40.99	71.02	145	0.75	0.75	0.75
U ₁₈	55.66	-58.55	18.71	61.27	162	1.0	1.0	1.0
U ₁₉	52.32	-42.42	11.6	44.55	162	0.0	0.0	0.0
U ₂₀	81.26	-2.89	71.56	71.62	92	0.0	0.0	0.0
U ₂₁	59.08	-37.02	-27.87	46.34	217	0.0	0.0	0.0
U ₂₂	73.37	18.14	70.66	72.95	76	0.0	0.0	0.0
U ₂₃	85.24	-3.4	84.28	84.35	92	0.0	0.0	0.0
U ₂₄	78.53	-25.99	72.23	76.76	110	0.25	0.25	0.25
U ₂₅	68.25	-42.61	56.0	70.37	127	0.5	0.5	0.5
U ₂₆	58.73	-57.99	40.99	71.02	145	0.75	0.75	0.75
U ₂₇	55.66	-58.55	18.71	61.27	162	1.0	1.0	1.0
U ₂₈	52.32	-42.42	11.6	44.55	162	0.0	0.0	0.0
U ₂₉	81.26	-2.89	71.56	71.62	92	0.0	0.0	0.0
U ₃₀	59.08	-37.02	-27.87	46.34	217	0.0	0.0	0.0
U ₃₁	73.37	18.14	70.66	72.95	76	0.0	0.0	0.0
U ₃₂	85.24	-3.4	84.28	84.35	92	0.0	0.0	0.0
U ₃₃	78.53	-25.99	72.23	76.76	110	0.25	0.25	0.25
U ₃₄	68.25	-42.61	56.0	70.37	127	0.5	0.5	0.5
U ₃₅	58.73	-57.99	40.99	71.02	145	0.75	0.75	0.75
U ₃₆	55.66	-58.55	18.71	61.27				

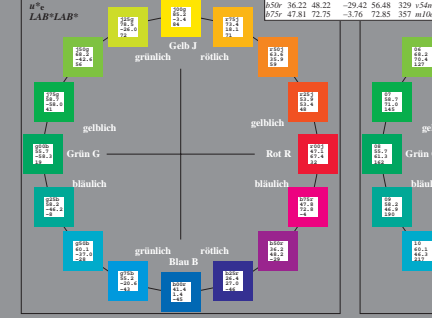
Ein und Ausgabe: Farbmatisches Drucker-Reflektiv-System ORS20_95a
Daten für jede Farbe:
 lab^*a^* und lab^*b^*
 u^* und v^* und w^* = 60, 15
Elementar-Bunttonste:
 $u^*c = 16$ Bunttonste $r25j, a^*b^*, b^*r5j$
Kontrastreduzierungsfaktor:
 $c_p = 1.0$

ORS20_95a adaptierte CIELAB-Daten
 L^* , a^* , b^* , C_{ab}^* , h_{ab}^* , u^* , v^* , w^*

O ₁	46.89	66.08	41.48	78.02	32				
Y ₁	88.66	-10.34	90.28	90.87	97				
M ₁	54.22	-65.51	35.22	74.38	152				
C ₁	61.43	-30.85	-40.54	80.84	233				
V ₁	25.93	26.15	-46.61	53.44	299				
W ₁	47.92	73.41	-7.8	73.82	354				
N ₁	20.41	0.28	0.64	0.7	66				
W ₁	94.64	-0.81	2.2	2.34	110				
R ₁	39.02	58.74	27.99	65.07	25				
Ja	81.26	-2.89	71.56	71.62	92				
Gi	52.23	-42.42	11.6	44.55	162				
Bl ₁	30.57	1.41	-46.47	46.49	272				



%Umfang $u^* = 87$
%Regelartigkeit $r^*_{min} = 67$
 $r^*_{max} = 59$



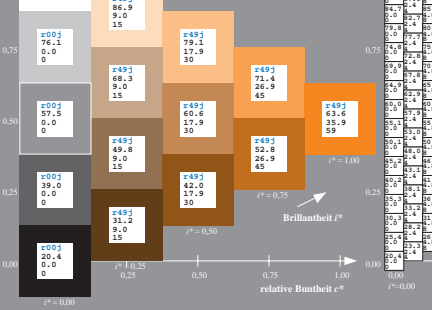
Ein und Ausgabe: Farbmatisches Drucker-Reflektiv-System ORS20_95_1.20_95 für relative CIELAB-Buntton $h^* = lab^*h^* = h_{ab}360 = 0.164$ $u^*c = r5j$
Daten für jede Farbe:
 lab^*a^* und lab^*b^*
 u^* und v^* und w^* = 60, 15
Elementar-Bunttonste:
 $u^*c = 16$ Bunttonste $r25j, a^*b^*, b^*r5j$
Kontrastreduzierungsfaktor:
 $c_p = 1.0$

ORS20_95a adaptierte CIELAB-Daten
 L^* , a^* , b^* , C_{ab}^* , h_{ab}^* , u^* , v^* , w^*

O ₁	46.89	66.08	41.48	78.02	32				
Y ₁	88.66	-10.34	90.28	90.87	97				
M ₁	54.22	-65.51	35.22	74.38	152				
C ₁	61.43	-30.85	-40.54	80.84	233				
V ₁	25.93	26.15	-46.61	53.44	299				
W ₁	47.92	73.41	-7.8	73.82	354				
N ₁	20.41	0.28	0.64	0.7	66				
W ₁	94.64	-0.81	2.2	2.34	110				
R ₁	39.02	58.74	27.99	65.07	25				
Ja	81.26	-2.89	71.56	71.62	92				
Gi	52.23	-42.42	11.6	44.55	162				
Bl ₁	30.57	1.41	-46.47	46.49	272				



%Umfang $u^* = 87$
%Regelartigkeit $r^*_{min} = 67$
 $r^*_{max} = 59$



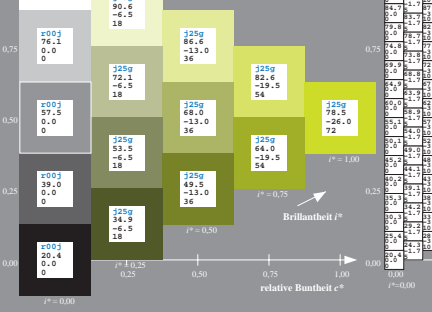
Ein und Ausgabe: Farbmatisches Drucker-Reflektiv-System ORS20_95_1.20_95 für relative CIELAB-Buntton $h^* = lab^*h^* = h_{ab}360 = 0.305$ $u^*c = r25j$
Daten für jede Farbe:
 lab^*a^* und lab^*b^*
 u^* und v^* und w^* = 60, 15
Elementar-Bunttonste:
 $u^*c = 16$ Bunttonste $r25j, a^*b^*, b^*r5j$
Kontrastreduzierungsfaktor:
 $c_p = 1.0$

ORS20_95a adaptierte CIELAB-Daten
 L^* , a^* , b^* , C_{ab}^* , h_{ab}^* , u^* , v^* , w^*

O ₁	46.89	66.08	41.48	78.02	32				
Y ₁	88.66	-10.34	90.28	90.87	97				
M ₁	54.22	-65.51	35.22	74.38	152				
C ₁	61.43	-30.85	-40.54	80.84	233				
V ₁	25.93	26.15	-46.61	53.44	299				
W ₁	47.92	73.41	-7.8	73.82	354				
N ₁	20.41	0.28	0.64	0.7	66				
W ₁	94.64	-0.81	2.2	2.34	110				
R ₁	39.02	58.74	27.99	65.07	25				
Ja	81.26	-2.89	71.56	71.62	92				
Gi	52.23	-42.42	11.6	44.55	162				
Bl ₁	30.57	1.41	-46.47	46.49	272				



%Umfang $u^* = 87$
%Regelartigkeit $r^*_{min} = 67$
 $r^*_{max} = 59$



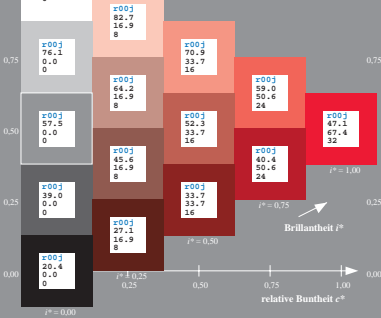
Ein und Ausgabe: Farbmatisches Drucker-Reflektiv-System ORS20_95_1.20_95 für relative CIELAB-Buntton $h^* = lab^*h^* = h_{ab}360 = 0.071$ $u^*c = r5j$
Daten für jede Farbe:
 lab^*a^* und lab^*b^*
 u^* und v^* und w^* = 60, 15
Elementar-Bunttonste:
 $u^*c = 16$ Bunttonste $r25j, a^*b^*, b^*r5j$
Kontrastreduzierungsfaktor:
 $c_p = 1.0$

ORS20_95a adaptierte CIELAB-Daten
 L^* , a^* , b^* , C_{ab}^* , h_{ab}^* , u^* , v^* , w^*

O ₁	46.89	66.08	41.48	78.02	32				
Y ₁	88.66	-10.34	90.28	90.87	97				
M ₁	54.22	-65.51	35.22	74.38	152				
C ₁	61.43	-30.85	-40.54	80.84	233				
V ₁	25.93	26.15	-46.61	53.44	299				
W ₁	47.92	73.41	-7.8	73.82	354				
N ₁	20.41	0.28	0.64	0.7	66				
W ₁	94.64	-0.81	2.2	2.34	110				
R ₁	39.02	58.74	27.99	65.07	25				
Ja	81.26	-2.89	71.56	71.62	92				
Gi	52.23	-42.42	11.6	44.55	162				
Bl ₁	30.57	1.41	-46.47	46.49	272				



%Umfang $u^* = 87$
%Regelartigkeit $r^*_{min} = 67$
 $r^*_{max} = 59$



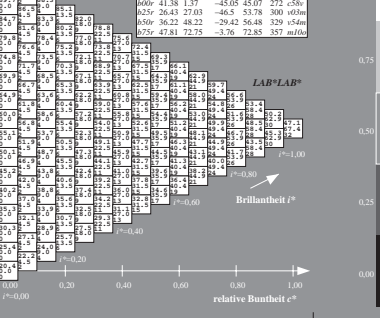
Ein und Ausgabe: Farbmatisches Drucker-Reflektiv-System ORS20_95_1.20_95 für relative CIELAB-Buntton $h^* = lab^*h^* = h_{ab}360 = 0.21$ $u^*c = r5j$
Daten für jede Farbe:
 lab^*a^* und lab^*b^*
 u^* und v^* und w^* = 60, 15
Elementar-Bunttonste:
 $u^*c = 16$ Bunttonste $r25j, a^*b^*, b^*r5j$
Kontrastreduzierungsfaktor:
 $c_p = 1.0$

ORS20_95a adaptierte CIELAB-Daten
 L^* , a^* , b^* , C_{ab}^* , h_{ab}^* , u^* , v^* , w^*

O ₁	46.89	66.08	41.48	78.02	32				
Y ₁	88.66	-10.34	90.28	90.87	97				
M ₁	54.22	-65.51	35.22	74.38	152				
C ₁	61.43	-30.85	-40.54	80.84	233				
V ₁	25.93	26.15	-46.61	53.44	299				
W ₁	47.92	73.41	-7.8	73.82	354				
N ₁	20.41	0.28	0.64	0.7	66				
W ₁	94.64	-0.81	2.2	2.34	110				
R ₁	39.02	58.74	27.99	65.07	25				
Ja	81.26	-2.89	71.56	71.62	92				
Gi	52.23	-42.42	11.6	44.55	162				
Bl ₁	30.57	1.41	-46.47	46.49	272				



%Umfang $u^* = 87$
%Regelartigkeit $r^*_{min} = 67$
 $r^*_{max} = 59$



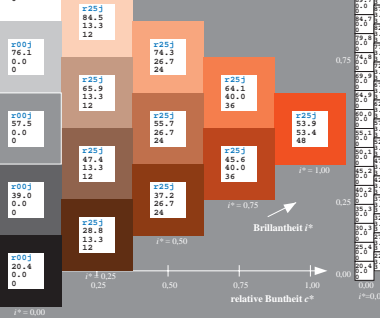
Ein und Ausgabe: Farbmatisches Drucker-Reflektiv-System ORS20_95_1.20_95 für relative CIELAB-Buntton $h^* = lab^*h^* = h_{ab}360 = 0.071$ $u^*c = r25j$
Daten für jede Farbe:
 lab^*a^* und lab^*b^*
 u^* und v^* und w^* = 60, 15
Elementar-Bunttonste:
 $u^*c = 16$ Bunttonste $r25j, a^*b^*, b^*r5j$
Kontrastreduzierungsfaktor:
 $c_p = 1.0$

ORS20_95a adaptierte CIELAB-Daten
 L^* , a^* , b^* , C_{ab}^* , h_{ab}^* , u^* , v^* , w^*

O ₁	46.89	66.08	41.48	78.02	32				
Y ₁	88.66	-10.34	90.28	90.87	97				
M ₁	54.22	-65.51	35.22	74.38	152				
C ₁	61.43	-30.85	-40.54	80.84	233				
V ₁	25.93	26.15	-46.61	53.44	299				
W ₁	47.92	73.41	-7.8	73.82	354				
N ₁	20.41	0.28	0.64	0.7	66				
W ₁	94.64	-0.81	2.2	2.34	110				
R ₁	39.02	58.74	27.99	65.07	25				
Ja	81.26	-2.89	71.56	71.62	92				
Gi	52.23	-42.42	11.6	44.55	162				
Bl ₁	30.57	1.41	-46.47	46.49	272				



%Umfang $u^* = 87$
%Regelartigkeit $r^*_{min} = 67$
 $r^*_{max} = 59$



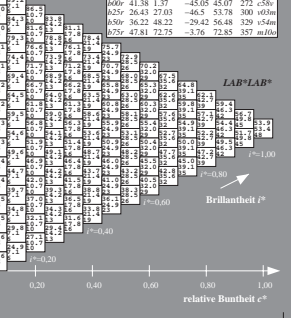
Ein und Ausgabe: Farbmatisches Drucker-Reflektiv-System ORS20_95_1.20_95 für relative CIELAB-Buntton $h^* = lab^*h^* = h_{ab}360 = 0.147$ $u^*c = r25j$
Daten für jede Farbe:
 lab^*a^* und lab^*b^*
 u^* und v^* und w^* = 60, 15
Elementar-Bunttonste:
 $u^*c = 16$ Bunttonste $r25j, a^*b^*, b^*r5j$
Kontrastreduzierungsfaktor:
 $c_p = 1.0$

ORS20_95a adaptierte CIELAB-Daten
 L^* , a^* , b^* , C_{ab}^* , h_{ab}^* , u^* , v^* , w^*

O ₁	46.89	66.08	41.48	78.02	32				
Y ₁	88.66	-10.34	90.28	90.87	97				
M ₁	54.22	-65.51	35.22	74.38	152				
C ₁	61.43	-30.85	-40.54	80.84	233				
V ₁	25.93	26.15	-46.61	53.44	299				
W ₁	47.92	73.41	-7.8	73.82	354				
N ₁	20.41	0.28	0.64	0.7	66				
W ₁	94.64	-0.81	2.2	2.34	110				
R ₁	39.02	58.74	27.99	65.07	25				
Ja	81.26	-2.89	71.56	71.62	92				
Gi	52.23	-42.42	11.6	44.55	162				
Bl ₁	30.57	1.41	-46.47	46.49	272				



%Umfang $u^* = 87$
%Regelartigkeit $r^*_{min} = 67$
 $r^*_{max} = 59$



Ein und Ausgabe: Farbmétrisches Drucker-Reflektiv-System ORS20_95a
 Daten für jede Farbe: lab^*a^* und lab^*b^*
 Elementar-Bunttonste: $n^* = 16$ Bunttonste $r25j$, $n^* = 15$
 Kontrastreduzierungsfaktor: $c_p = 1.0$
 Dreiecks-Helligkeit r^*

ORS20_95a adaptierte CIELAB-Daten

L^*	a^*	b^*	C_{ab}^*	h_{ab}^*	u^*	v^*
D69	47.06	67.41	32.12	74.67	25	m69a
D75	53.95	53.38	48.38	72.04	42	o17a
Y69	63.16	35.87	59.45	69.43	59	a22a
C61	73.37	18.14	70.66	72.95	76	o69a
M69	85.24	-3.4	84.28	84.35	92	o93a
D52	78.53	-25.99	72.23	76.76	110	y24a
S69	68.25	-42.61	56.0	70.37	127	s53a
F75	58.73	-57.99	40.99	71.02	145	s81a
M69	55.66	-58.35	18.71	61.27	162	i22a
S69	58.18	-46.2	-7.82	46.86	190	i45a
R69	60.08	-37.02	-27.87	46.34	217	f76a
F75	55.21	-20.63	-42.98	47.67	244	c16a
M69	41.38	13.7	-45.05	45.07	272	c58a
D25	26.43	27.03	-4.5	53.78	300	y69a
S69	36.22	48.22	-29.42	56.48	329	s54a
F75	47.81	72.75	-3.76	72.85	357	m16a



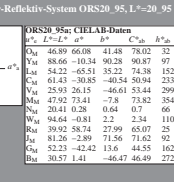
ORS20_95a adaptierte CIELAB-Daten

L^*	a^*	b^*	C_{ab}^*	h_{ab}^*	u^*	v^*
D69	46.89	66.08	41.48	78.02	32	m69a
D75	53.95	53.38	48.38	72.04	42	o17a
Y69	63.16	35.87	59.45	69.43	59	a22a
C61	73.37	18.14	70.66	72.95	76	o69a
M69	85.24	-3.4	84.28	84.35	92	o93a
D52	78.53	-25.99	72.23	76.76	110	y24a
S69	68.25	-42.61	56.0	70.37	127	s53a
F75	58.73	-57.99	40.99	71.02	145	s81a
M69	55.66	-58.35	18.71	61.27	162	i22a
S69	58.18	-46.2	-7.82	46.86	190	i45a
R69	60.08	-37.02	-27.87	46.34	217	f76a
F75	55.21	-20.63	-42.98	47.67	244	c16a
M69	41.38	13.7	-45.05	45.07	272	c58a
D25	26.43	27.03	-4.5	53.78	300	y69a
S69	36.22	48.22	-29.42	56.48	329	s54a
F75	47.81	72.75	-3.76	72.85	357	m16a



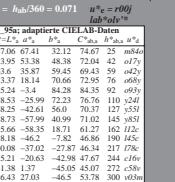
ORS20_95a adaptierte CIELAB-Daten

L^*	a^*	b^*	C_{ab}^*	h_{ab}^*	u^*	v^*
D69	46.89	66.08	41.48	78.02	32	m69a
D75	53.95	53.38	48.38	72.04	42	o17a
Y69	63.16	35.87	59.45	69.43	59	a22a
C61	73.37	18.14	70.66	72.95	76	o69a
M69	85.24	-3.4	84.28	84.35	92	o93a
D52	78.53	-25.99	72.23	76.76	110	y24a
S69	68.25	-42.61	56.0	70.37	127	s53a
F75	58.73	-57.99	40.99	71.02	145	s81a
M69	55.66	-58.35	18.71	61.27	162	i22a
S69	58.18	-46.2	-7.82	46.86	190	i45a
R69	60.08	-37.02	-27.87	46.34	217	f76a
F75	55.21	-20.63	-42.98	47.67	244	c16a
M69	41.38	13.7	-45.05	45.07	272	c58a
D25	26.43	27.03	-4.5	53.78	300	y69a
S69	36.22	48.22	-29.42	56.48	329	s54a
F75	47.81	72.75	-3.76	72.85	357	m16a



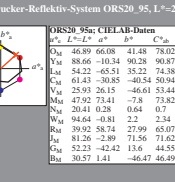
ORS20_95a adaptierte CIELAB-Daten

L^*	a^*	b^*	C_{ab}^*	h_{ab}^*	u^*	v^*
D69	46.89	66.08	41.48	78.02	32	m69a
D75	53.95	53.38	48.38	72.04	42	o17a
Y69	63.16	35.87	59.45	69.43	59	a22a
C61	73.37	18.14	70.66	72.95	76	o69a
M69	85.24	-3.4	84.28	84.35	92	o93a
D52	78.53	-25.99	72.23	76.76	110	y24a
S69	68.25	-42.61	56.0	70.37	127	s53a
F75	58.73	-57.99	40.99	71.02	145	s81a
M69	55.66	-58.35	18.71	61.27	162	i22a
S69	58.18	-46.2	-7.82	46.86	190	i45a
R69	60.08	-37.02	-27.87	46.34	217	f76a
F75	55.21	-20.63	-42.98	47.67	244	c16a
M69	41.38	13.7	-45.05	45.07	272	c58a
D25	26.43	27.03	-4.5	53.78	300	y69a
S69	36.22	48.22	-29.42	56.48	329	s54a
F75	47.81	72.75	-3.76	72.85	357	m16a



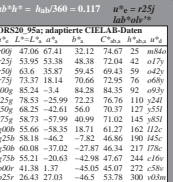
ORS20_95a adaptierte CIELAB-Daten

L^*	a^*	b^*	C_{ab}^*	h_{ab}^*	u^*	v^*
D69	46.89	66.08	41.48	78.02	32	m69a
D75	53.95	53.38	48.38	72.04	42	o17a
Y69	63.16	35.87	59.45	69.43	59	a22a
C61	73.37	18.14	70.66	72.95	76	o69a
M69	85.24	-3.4	84.28	84.35	92	o93a
D52	78.53	-25.99	72.23	76.76	110	y24a
S69	68.25	-42.61	56.0	70.37	127	s53a
F75	58.73	-57.99	40.99	71.02	145	s81a
M69	55.66	-58.35	18.71	61.27	162	i22a
S69	58.18	-46.2	-7.82	46.86	190	i45a
R69	60.08	-37.02	-27.87	46.34	217	f76a
F75	55.21	-20.63	-42.98	47.67	244	c16a
M69	41.38	13.7	-45.05	45.07	272	c58a
D25	26.43	27.03	-4.5	53.78	300	y69a
S69	36.22	48.22	-29.42	56.48	329	s54a
F75	47.81	72.75	-3.76	72.85	357	m16a



ORS20_95a adaptierte CIELAB-Daten

L^*	a^*	b^*	C_{ab}^*	h_{ab}^*	u^*	v^*
D69	46.89	66.08	41.48	78.02	32	m69a
D75	53.95	53.38	48.38	72.04	42	o17a
Y69	63.16	35.87	59.45	69.43	59	a22a
C61	73.37	18.14	70.66	72.95	76	o69a
M69	85.24	-3.4	84.28	84.35	92	o93a
D52	78.53	-25.99	72.23	76.76	110	y24a
S69	68.25	-42.61	56.0	70.37	127	s53a
F75	58.73	-57.99	40.99	71.02	145	s81a
M69	55.66	-58.35	18.71	61.27	162	i22a
S69	58.18	-46.2	-7.82	46.86	190	i45a
R69	60.08	-37.02	-27.87	46.34	217	f76a
F75	55.21	-20.63	-42.98	47.67	244	c16a
M69	41.38	13.7	-45.05	45.07	272	c58a
D25	26.43	27.03	-4.5	53.78	300	y69a
S69	36.22	48.22	-29.42	56.48	329	s54a
F75	47.81	72.75	-3.76	72.85	357	m16a



Ein und Ausgabe: Farbmétrisches Drucker-Reflektiv-System ORS20_95, L*20_95 für relative CIELAB-Buntton $h^* = lab^*h^* = h_{ab}/360 = 0.164$ $u^* = r25j$
 Daten für jede Farbe: lab^*a^* und lab^*b^*
 Bunttonste: $n^* = r25j$ $u^* = a22j$
 Kontrastreduzierungsfaktor: $c_p = 1.0$
 Dreiecks-Helligkeit r^*

ORS20_95a adaptierte CIELAB-Daten

L^*	a^*	b^*	C_{ab}^*	h_{ab}^*	u^*	v^*
D69	46.89	66.08	41.48	78.02	32	m69a
D75	53.95	53.38	48.38	72.04	42	o17a
Y69	63.16	35.87	59.45	69.43	59	a22a
C61	73.37	18.14	70.66	72.95	76	o69a
M69	85.24	-3.4	84.28	84.35	92	o93a
D52	78.53	-25.99	72.23	76.76	110	y24a
S69	68.25	-42.61	56.0	70.37	127	s53a
F75	58.73	-57.99	40.99	71.02	145	s81a
M69	55.66	-58.35	18.71	61.27	162	i22a
S69	58.18	-46.2	-7.82	46.86	190	i45a
R69	60.08	-37.02	-27.87	46.34	217	f76a
F75	55.21	-20.63	-42.98	47.67	244	c16a
M69	41.38	13.7	-45.05	45.07	272	c58a
D25	26.43	27.03	-4.5	53.78	300	y69a
S69	36.22	48.22	-29.42	56.48	329	s54a
F75	47.81	72.75	-3.76	72.85	357	m16a



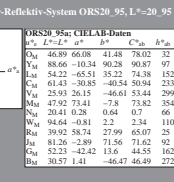
ORS20_95a adaptierte CIELAB-Daten

L^*	a^*	b^*	C_{ab}^*	h_{ab}^*	u^*	v^*
D69	46.89	66.08	41.48	78.02	32	m69a
D75	53.95	53.38	48.38	72.04	42	o17a
Y69	63.16	35.87	59.45	69.43	59	a22a
C61	73.37	18.14	70.66	72.95	76	o69a
M69	85.24	-3.4	84.28	84.35	92	o93a
D52	78.53	-25.99	72.23	76.76	110	y24a
S69	68.25	-42.61	56.0	70.37	127	s53a
F75	58.73	-57.99	40.99	71.02	145	s81a
M69	55.66	-58.35	18.71	61.27	162	i22a
S69	58.18	-46.2	-7.82	46.86	190	i45a
R69	60.08	-37.02	-27.87	46.34	217	f76a
F75	55.21	-20.63	-42.98	47.67	244	c16a
M69	41.38	13.7	-45.05	45.07	272	c58a
D25	26.43	27.03	-4.5	53.78	300	y69a
S69	36.22	48.22	-29.42	56.48	329	s54a
F75	47.81	72.75	-3.76	72.85	357	m16a



ORS20_95a adaptierte CIELAB-Daten

L^*	a^*	b^*	C_{ab}^*	h_{ab}^*	u^*	v^*
D69	46.89	66.08	41.48	78.02	32	m69a
D75	53.95	53.38	48.38	72.04	42	o17a
Y69	63.16	35.87	59.45	69.43	59	a22a
C61	73.37	18.14	70.66	72.95	76	o69a
M69	85.24	-3.4	84.28	84.35	92	o93a
D52	78.53	-25.99	72.23	76.76	110	y24a
S69	68.25	-42.61	56.0	70.37	127	s53a
F75	58.73	-57.99	40.99	71.02	145	s81a
M69	55.66	-58.35	18.71	61.27	162	i22a
S69	58.18	-46.2	-7.82	46.86	190	i45a
R69	60.08	-37.02	-27.87	46.34	217	f76a
F75	55.21	-20.63	-42.98	47.67	244	c16a
M69	41.38	13.7	-45.05	45.07	272	c58a
D25	26.43	27.03	-4.5	53.78	300	y69a
S69	36.22	48.22	-29.42	56.48	329	s54a
F75	47.81	72.75	-3.76	72.85	357	m16a



ORS20_95a adaptierte CIELAB-Daten

L^*	a^*	b^*	C_{ab}^*	h_{ab}^*	u^*	v^*
D69	46.89	66.08	41.48	78.02	32	m69a
D75	53.95	53.38	48.38	72.04	42	

Ein und Ausgabe: Farbmétrisches Drucker-Reflektiv-System ORS20_95a
Daten für jede Farbe:
 lab^*a^* und lab^*b^*
Elementar-Bunttonste:
 $u^* = 16$ Bunttonste $r25j$, $r50j$, $r75j$, $r100j$
Kontrastreduzierungsfaktor:
 $c_p = 1.0$

ORS20_95a adaptierte CIELAB-Daten

L^*	a^*	b^*	C_{ab}^*	h_{ab}^*	u^*
O ₄	46.89	66.08	41.48	78.02	32
Y ₄	53.95	53.38	48.38	72.04	42
M ₄	54.22	-65.51	35.22	74.38	152
B ₄	61.43	-30.85	-40.54	80.84	233
V ₄	25.93	26.15	-46.61	53.44	299
W ₄	47.92	73.41	-7.8	73.82	354
N ₄	20.41	0.28	0.64	70.37	127
W ₄	94.64	-0.81	2.2	2.34	110
R ₄	39.92	58.74	27.99	65.07	25
G ₄	81.26	-2.89	71.56	71.62	92
B ₄	52.23	-42.42	13.6	44.55	162
B ₄	30.57	1.41	-46.47	46.49	272



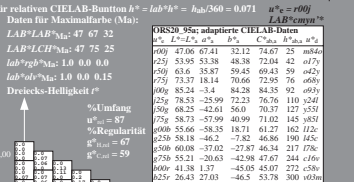
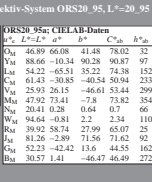
ORS20_95a CIELAB-Daten

L^*	a^*	b^*	C_{ab}^*	h_{ab}^*	u^*
O ₄	46.89	66.08	41.48	78.02	32
Y ₄	53.95	53.38	48.38	72.04	42
M ₄	54.22	-65.51	35.22	74.38	152
B ₄	61.43	-30.85	-40.54	80.84	233
V ₄	25.93	26.15	-46.61	53.44	299
W ₄	47.92	73.41	-7.8	73.82	354
N ₄	20.41	0.28	0.64	70.37	127
W ₄	94.64	-0.81	2.2	2.34	110
R ₄	39.92	58.74	27.99	65.07	25
G ₄	81.26	-2.89	71.56	71.62	92
B ₄	52.23	-42.42	13.6	44.55	162
B ₄	30.57	1.41	-46.47	46.49	272

Ein und Ausgabe: Farbmétrisches Drucker-Reflektiv-System ORS20_95, L*=20_95 für relative CIELAB-Buntton $h^* = lab^*h^* = h_{ab}^*/360 = 0.164$ $u^* = r50j$

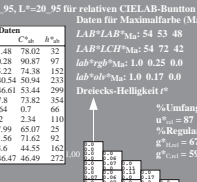
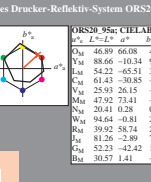
ORS20_95a adaptierte CIELAB-Daten

L^*	a^*	b^*	C_{ab}^*	h_{ab}^*	u^*
O ₄	46.89	66.08	41.48	78.02	32
Y ₄	53.95	53.38	48.38	72.04	42
M ₄	54.22	-65.51	35.22	74.38	152
B ₄	61.43	-30.85	-40.54	80.84	233
V ₄	25.93	26.15	-46.61	53.44	299
W ₄	47.92	73.41	-7.8	73.82	354
N ₄	20.41	0.28	0.64	70.37	127
W ₄	94.64	-0.81	2.2	2.34	110
R ₄	39.92	58.74	27.99	65.07	25
G ₄	81.26	-2.89	71.56	71.62	92
B ₄	52.23	-42.42	13.6	44.55	162
B ₄	30.57	1.41	-46.47	46.49	272



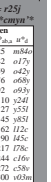
ORS20_95a adaptierte CIELAB-Daten

L^*	a^*	b^*	C_{ab}^*	h_{ab}^*	u^*
O ₄	46.89	66.08	41.48	78.02	32
Y ₄	53.95	53.38	48.38	72.04	42
M ₄	54.22	-65.51	35.22	74.38	152
B ₄	61.43	-30.85	-40.54	80.84	233
V ₄	25.93	26.15	-46.61	53.44	299
W ₄	47.92	73.41	-7.8	73.82	354
N ₄	20.41	0.28	0.64	70.37	127
W ₄	94.64	-0.81	2.2	2.34	110
R ₄	39.92	58.74	27.99	65.07	25
G ₄	81.26	-2.89	71.56	71.62	92
B ₄	52.23	-42.42	13.6	44.55	162
B ₄	30.57	1.41	-46.47	46.49	272



ORS20_95a adaptierte CIELAB-Daten

L^*	a^*	b^*	C_{ab}^*	h_{ab}^*	u^*
O ₄	46.89	66.08	41.48	78.02	32
Y ₄	53.95	53.38	48.38	72.04	42
M ₄	54.22	-65.51	35.22	74.38	152
B ₄	61.43	-30.85	-40.54	80.84	233
V ₄	25.93	26.15	-46.61	53.44	299
W ₄	47.92	73.41	-7.8	73.82	354
N ₄	20.41	0.28	0.64	70.37	127
W ₄	94.64	-0.81	2.2	2.34	110
R ₄	39.92	58.74	27.99	65.07	25
G ₄	81.26	-2.89	71.56	71.62	92
B ₄	52.23	-42.42	13.6	44.55	162
B ₄	30.57	1.41	-46.47	46.49	272



ORS20_95a adaptierte CIELAB-Daten

L^*	a^*	b^*	C_{ab}^*	h_{ab}^*	u^*
O ₄	46.89	66.08	41.48	78.02	32
Y ₄	53.95	53.38	48.38	72.04	42
M ₄	54.22	-65.51	35.22	74.38	152
B ₄	61.43	-30.85	-40.54	80.84	233
V ₄	25.93	26.15	-46.61	53.44	299
W ₄	47.92	73.41	-7.8	73.82	354
N ₄	20.41	0.28	0.64	70.37	127
W ₄	94.64	-0.81	2.2	2.34	110
R ₄	39.92	58.74	27.99	65.07	25
G ₄	81.26	-2.89	71.56	71.62	92
B ₄	52.23	-42.42	13.6	44.55	162
B ₄	30.57	1.41	-46.47	46.49	272

ORS20_95a adaptierte CIELAB-Daten

L^*	a^*	b^*	C_{ab}^*	h_{ab}^*	u^*
O ₄	46.89	66.08	41.48	78.02	32
Y ₄	53.95	53.38	48.38	72.04	42
M ₄	54.22	-65.51	35.22	74.38	152
B ₄	61.43	-30.85	-40.54	80.84	233
V ₄	25.93	26.15	-46.61	53.44	299
W ₄	47.92	73.41	-7.8	73.82	354
N ₄	20.41	0.28	0.64	70.37	127
W ₄	94.64	-0.81	2.2	2.34	110
R ₄	39.92	58.74	27.99	65.07	25
G ₄	81.26	-2.89	71.56	71.62	92
B ₄	52.23	-42.42	13.6	44.55	162
B ₄	30.57	1.41	-46.47	46.49	272

ORS20_95a adaptierte CIELAB-Daten

L^*	a^*	b^*	C_{ab}^*	h_{ab}^*	u^*
O ₄	46.89	66.08	41.48	78.02	32
Y ₄	53.95	53.38	48.38	72.04	42
M ₄	54.22	-65.51	35.22	74.38	152
B ₄	61.43	-30.85	-40.54	80.84	233
V ₄	25.93	26.15	-46.61	53.44	299
W ₄	47.92	73.41	-7.8	73.82	354
N ₄	20.41	0.28	0.64	70.37	127
W ₄	94.64	-0.81	2.2	2.34	110
R ₄	39.92	58.74	27.99	65.07	25
G ₄	81.26	-2.89	71.56	71.62	92
B ₄	52.23	-42.42	13.6	44.55	162
B ₄	30.57	1.41	-46.47	46.49	272

ORS20_95a adaptierte CIELAB-Daten

L^*	a^*	b^*	C_{ab}^*	h_{ab}^*	u^*
O ₄	46.89	66.08	41.48	78.02	32
Y ₄	53.95	53.38	48.38	72.04	42
M ₄	54.22	-65.51	35.22	74.38	152
B ₄	61.43	-30.85	-40.54	80.84	233
V ₄	25.93	26.15	-46.61	53.44	299
W ₄	47.92	73.41	-7.8	73.82	354
N ₄	20.41	0.28	0.64	70.37	127
W ₄	94.64	-0.81	2.2	2.34	110
R ₄	39.92	58.74	27.99	65.07	25
G ₄	81.26	-2.89	71.56	71.62	92
B ₄	52.23	-42.42	13.6	44.55	162
B ₄	30.57	1.41	-46.47	46.49	272

ORS20_95a adaptierte CIELAB-Daten

L^*	a^*	b^*	C_{ab}^*	h_{ab}^*	u^*
O ₄	46.89	66.08	41.48	78.02	32
Y ₄	53.95	53.38	48.38	72.04	42
M ₄	54.22	-65.51	35.22	74.38	152
B ₄	61.43	-30.85	-40.54	80.84	233
V ₄	25.93	26.15	-46.61	53.44	299
W ₄	47.92	73.41	-7.8	73.82	354
N ₄	20.41	0.28	0.64	70.37	127
W ₄	94.64	-0.81	2.2	2.34	110
R ₄	39.92	58.74	27.99	65.07	25
G ₄	81.26	-2.89	71.56	71.62	92
B ₄	52.23	-42.42	13.6	44.55	162
B ₄	30.57	1.41	-46.47	46.49	272

ORS20_95a adaptierte CIELAB-Daten

L^*	a^*	b^*	C_{ab}^*	h_{ab}^*	u^*
O ₄	46.89	66.08	41.48	78.02	32
Y ₄	53.95	53.38	48.38	72.04	42
M ₄	54.22	-65.51	35.22	74.38	152
B ₄	61.43	-30.85	-40.54	80.84	233
V ₄	25.93	26.15	-46.61	53.44	299
W ₄	47.92	73.41	-7.8	73.82	354
N ₄	20.41	0.28	0.64	70.37	127
W ₄	94.64	-0.81	2.2	2.34	110
R ₄	39.92	58.74	27.99	65.07	25
G ₄	81.26	-2.89	71.56	71.62	92
B ₄	52.23	-42.42	13.6	44.55	162
B ₄	30.57	1.41	-46.47	46.49	272

ORS20_95a adaptierte CIELAB-Daten

L^*	a^*	b^*	C_{ab}^*	h_{ab}^*	u^*
O ₄	46.89	66.08	41.48	78.02	32
Y ₄	53.95	53.38	48.38	72.04	42
M ₄	54.22	-65.51	35.22	74.38	152
B ₄	61.43	-30.85	-40.54	80.84	233
V ₄	25.93	26.15	-46.61	53.44	299
W ₄	47.92	73.41	-7.8	73.82	354
N ₄	20.41	0.28	0.64	70.37	127
W ₄	94.64	-0.81	2.2	2.34	110
R ₄	39.92	58.74	27.99	65.07	25
G ₄	81.26	-2.89	71.56	71.62	92
B ₄	52.23	-42.42	13.6	44.55	162
B ₄	30.57	1.41	-46.47	46.49	272

ORS20_95a adaptierte CIELAB-Daten

L^*	a^*	b^*	C_{ab}^*	h_{ab}^*	u^*
O ₄	46.89	66.08	41.48	78.02	32
Y ₄	53.95	53.38	48.38	72.04	42